

**PEMBUATAN HIDROGEL DARI SABUT KELAPA (*Cocos Nucifera* L.)
SEBAGAI ABSORBEN LOGAM BERAT Cu DAN Fe**



UNIVERSITAS ISLAM NEGERI
ALAUDDIN
M A K A S S A R

SKRIPSI

Diajukan Untuk Memenuhi Salah Satu Syarat Meraih Gelar Sarjana Sains
Jurusan Kimia pada Fakultas Sains dan Teknologi
UIN Alauddin Makassar

Oleh :

TIARA NURFADILLAH RAJAB
60500117023

JURUSAN KIMIA
FAKULTAS SAINS DAN TEKNOLOGI
UNIVERSITAS ISLAM NEGERI ALAUDDIN MAKASSAR
2021

LEMBAR PERNYATAAN KEASLIAN SKRIPSI

Mahasiswa yang bertanda tangan dibawah ini:

Nama : Tiara Nurfadillah Rajab
NIM : 60500117023
Tempat, Tgl. Lahir : Makassar, 25 Januari 2000
Jurusan : Kimia
Alamat : Jalan Kesatuan 4 no. 36 Makassar
Judul : Pembuatan Hidrogel dari Sabut Kelapa (*Cocos Nucifera* L.)
sebagai Absorben Logam Berat Cu Dan Fe

Menyatakan dengan sesungguhnya dan penuh rasa sadar bahwa skripsi ini adalah benar hasil karya sendiri. Jika dikemudian hari terbukti bahwa skripsi ini merupakan duplikat, tiruan, plagiat atau dibuat oleh orang lain, sebagian atau seluruhnya, maka skripsi ini dan gelar yang diperoleh karenanya batal demi hukum.

Gowa, Juni 2021

Penyusun

UNIVERSITAS ISLAM NEGERI
ALAUDDIN
MAKASSAR



Tiara Nurfadillah Rajab
NIM. 60500117023

LEMBAR PENGESAHAN SKRIPSI

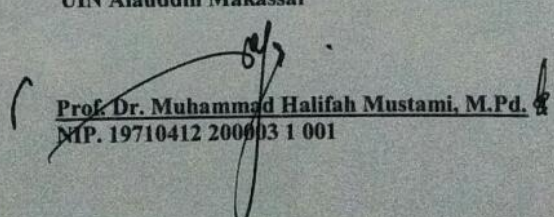
Skripsi yang berjudul “Pembuatan Hidrogel dari Sabut Kelapa (*Cocos nucifera* L.) sebagai Absorben Logam Berat Cu dan Fe” yang disusun oleh **Tiara Nurfadillah Rajab, NIM: 60500117023**, mahasiswa jurusan Kimia pada Fakultas Sains dan Teknologi UIN Alauddin Makassar, telah diuji dan dipertahankan dalam sidang munaqasyah yang diselenggarakan pada hari Rabu, 18 Agustus 2021 bertepatan dengan 9 Muharram 1443 H, dinyatakan telah dapat diterima sebagai salah satu syarat untuk memperoleh gelar Sarjana dalam Ilmu Kimia.

Samata-Gowa, Rabu, 18 Agustus 2021 M
9 Muharram 1443 H

DEWAN PENGUJI

Ketua	: Dr. Fatmawati Nur, S.Si., M.Si	(.....)
Sekretaris	: Dr. H. Asri Saleh, S.T., M.Si	(.....)
Munaqys 1	: Sjamsiah, S.Si., M.Si., Ph.D	(.....)
Munaqys 2	: Dr. H. Aan Farhani, Lc., M.Ag.	(.....)
Pembimbing 1	: Dra. Sitti Chadijah, M.Si	(.....)
Pembimbing 2	: Syarifah Rabiatul Adawiyah, S.Pd., M.Sc	(.....)

Diketahui Oleh:
Dekan Fakultas Sains dan Teknologi
UIN Alauddin Makassar


Prof. Dr. Muhammad Halifah Mustami, M.Pd.
NIP. 19710412 200603 1 001

KATA PENGANTAR

بِسْمِ اللَّهِ الرَّحْمَنِ الرَّحِيمِ

Alhamdulillahirobbil ‘alamin penulis panjatkan segala puji dan syukur atas kehadiran Allah *Subhanahu wa ta’ala* karena dengan segala rahmat dan karunia-Nya yang tidak terhingga sehingga penulis masih diberi umur, kesehatan dan kesempatan dalam menyelesaikan tugas akhir berupa skripsi dengan judul **“Pembuatan Hidrogel dari Sabut Kelapa (*Cocos Nucifera* L.) sebagai Absorben Logam Berat Cu Dan Fe”**. Tidak lupa selawat dan salam kepada junjungan Nabi Muhammad Shallallahu ‘Alaihi Wasallam yang merupakan suri teladan bagi umat manusia. Skripsi ini diajukan sebagai salah satu syarat untuk menyelesaikan studi dan mendapatkan gelar sarjana di Jurusan Kimia Fakultas Sains dan Teknologi Universitas Islam Negeri Alauddin Makassar.

Selama proses penyusunan skripsi ini tidak terlepas dari berbagai hambatan dan tantangan akan tetapi semuanya dapat dilalui karena adanya dukungan, motivasi serta doa dari berbagai pihak. Penulis mengucapkan banyak terimakasih kepada semua pihak terutama kepada orang tua saya bapak Muh. Rajab dan ibu St. Aida serta saudara dan keluarga yang selalu ada untuk memberikan kasih dan sayang, doa dan dukungan baik moril maupun materil. Tak lupa pula ucapan terima kasih yang sangat besar dan tulus penulis berikan kepada:

1. Prof. Hamdan Juhannis, M.A, Ph.D. selaku rektor Universitas Islam Negeri Alauddin Makassar.
2. Prof. Dr. Muhammad Halifah Mustami, M.Pd. selaku dekan Fakultas Sains dan Teknologi Universitas Islam Negeri Alauddin Makassar.
3. Dr. H. Asri Saleh, S.T., M.Si. selaku ketua Jurusan Kimia Fakultas Sains dan Teknologi Universitas Islam Negeri Alauddin Makassar.

4. Dr. Rismawaty Sikanna, S.Si., M.Si. selaku sekretaris Jurusan Kimia Fakultas Sains dan Teknologi Universitas Islam Negeri Alauddin Makassar.
5. Dra. Sitti Chadijah, M.Si selaku dosen pembimbing I serta PA yang tak hentinya memberi arahan dan semangat.
6. Syarifah Rabiatul Adawiyah, S.Pd., M.Sc. selaku dosen pembimbing II yang selalu meluangkan waktu dalam memberikan arahan selama penyusunan skripsi ini.
7. Sjamsiah, S.Si., M.Si., Ph.D selaku penguji I dan Dr. Aan Farhani, Lc, M.Ag selaku penguji II yang selalu memberikan kritik dan saran kepada penulis.
8. Seluruh dosen dan staf Jurusan Kimia Fakultas Sains dan Teknologi atas segala ilmu yang telah diberikan selama menempuh pendidikan di bangku perkuliahan.
9. Teman-teman peneliti tim analitik khususnya Nudia Tuljannah dan Hijrah yang selalu memberikan bantuan, dukungan dan semangat dalam menyelesaikan skripsi ini.

Akhir kata penulis mengucapkan syukur dan berharap tulisan ini dapat bermanfaat bagi pembaca. Semoga apa yang kita lakukan senantiasa bernilai ibadah oleh Allah swt.

Wassalamu alaikum Wr. Wb

Gowa, Juni 2021

Penulis,



Tiara Nurfadillah Rajab
60500117023

DAFTAR ISI

HALAMAN JUDUL	i
PERNYATAAN KEASLIAN SKRIPSI	ii
LEMBAR PENGESAHAN SKRIPSI	iii
KATA PENGANTAR	iv
DAFTAR ISI	vi
DAFTAR GAMBAR	xi
DAFTAR TABEL	vx
DAFTAR LAMPIRAN	xi
ABSTRAK	xii
ABSTRACT	xiii
BAB I PENDAHULUAN	
A. Latar Belakang	1
B. Rumusan Masalah	5
C. Tujuan Penelitian	5
D. Manfaat Penelitian	5
BAB II TINJAUAN PUSTAKA	
A. Sabut Kelapa	6
B. Absorben	9
C. Hidrogel	12
D. Pengikat Silang	14
E. Logam Berat	16
1. Logam Tembaga (Cu)	17
2. Logam Besi (Fe)	18
F. <i>Fourier Transform Infrared (FTIR)</i>	19

G. Spektrofotometer Serapan Atom (SSA)	20
--	----

BAB III METODE PENELITIAN

A. Waktu dan Tempat	23
B. Alat dan Bahan	23
1. Alat	23
2. Bahan	23
C. Prosedur kerja	23
1. Preparasi Sabut Kelapa	23
2. Selulosa dari Sabut Kelapa	24
3. Pembuatan Hidrogel	24
4. Uji Sediaan Hidrogel	24
a. Uji Organoleptik	24
b. Uji Rasio <i>Swelling</i>	25
c. Uji Fraksi Gel	25
d. Karakterisasi dengan FTIR	25
5. Pembuatan larutan Ion Logam	25
a. Pembuatan Larutan Logam Fe	25
1) Pembuatan Larutan Induk Fe 1000 ppm	25
2) Pembuatan Larutan Standar Fe 100 ppm	25
3) Pembuatan Deret Standar Fe 10, 20, 30, 40, 50 ppm	26
b. Pembuatan Larutan Logam Cu	26
1) Pembuatan Larutan Induk Cu 1000 ppm	26
2) Pembuatan Larutan Standar Cu 100 ppm	26
3) Pembuatan Larutan Standar Cu 10, 20, 30, 40, 50 ppm	26
6. Absorpsi Ion Logam Cu dan Fe	26

BAB IV HASIL DAN PEMBAHASAN

A. Hasil Penelitian

1. Selulosa Sabut Kelapa (<i>Cocos Nucifera</i> L.)	27
2. Hidrogel Sabut Kelapa (<i>Cocos Nucifera</i> L.)	27
3. Sediaan Hidrogel	28
a. Organoleptik	28
b. Rasio <i>Swelling</i>	28
c. Fraksi Gel	29
d. Spektrum Hidrogel	29
4. Absorpsi Ion Logam Cu dan Fe	30

B. Pembahasan

1. Selulosa Sabut Kelapa (<i>Cocos Nucifera</i> L.)	30
2. Hidrogel Sabut Kelapa (<i>Cocos Nucifera</i> L.)	32
3. Sediaan Hidrogel	33
a. Organoleptik	33
b. Rasio <i>Swelling</i>	34
c. Fraksi Gel	35
d. Spektrum Hidrogel	36
4. Absorpsi Ion Logam Cu dan Fe	37

BAB V PENUTUP

A. Kesimpulan	42
----------------------------	----

B. Saran	42
-----------------------	----

DAFTAR PUSTAKA	43
-----------------------------	----

LAMPIRAN	48
-----------------------	----

RIWAYAT HIDUP	70
----------------------------	----

DAFTAR GAMBAR

Gambar 2.1 Sabut Kelapa	7
Gambar 2.2 Struktur Bangun Molekul Selulosa	8
Gambar 2.3 Logam Tembaga (Cu)	17
Gambar 2.4 Logam Besi (Fe)	18
Gambar 2.5 Spektroskopi Fourier Transform Infrared (FTIR)	19
Gambar 2.6 Spektroskopi Serapan Atom (SSA)	21
Gambar 4.1 Selulosa Sabut Kelapa	27
Gambar 4.2 Hidrogel Sabut Kelapa	27
Gambar 4.3 Hidrogel dengan Penambahan EDTA 0,100; 0,125 dan 0,15	33
Gambar 4.4 Hubungan Variasi EDTA dengan Rasio <i>Swelling</i> Hidrogel	34
Gambar 4.5 Hubungan Variasi EDTA dengan Fraksi Gel Hidrogel	35
Gambar 4.6 Spektrum FTIR Hidrogel Selulosa Sabut Kelapa	36
Gambar 4.7 Spektrum FTIR Hidrogel, Hidrogel Absorpsi Cu dan Hidrogel Absorpsi Fe	37
Gambar 4.8 Hubungan Variasi EDTA dengan Efisiensi Penyerapan Ion Logam	37
Gambar 4.9 Reaksi Pembentukan Hidrogel dan Penyerapan Ion Logam	41

DAFTAR TABEL

Tabel 2.1 Komposisi Sabut Kelapa	9
Tabel 4.1 Hasil Organoleptik	28
Tabel 4.2 Hasil Rasio <i>Swelling</i>	28
Tabel 4.3 Hasil Fraksi Gel	29
Tabel 4.4 Hasil Spektrum Hidrogel Sebelum dan Setelah Absorpsi	29
Tabel 4.5 Efisiensi Penyerapan Hidrogel Pada Ion Logam Cu dan Fe	30



DAFTAR LAMPIRAN

Lampiran 1 Skema Penelitian	48
Lampiran 2 Pehitungan Kandungan Selulosa Sabut Kelapa	49
Lampiran 3 Perhitungan Rasio <i>Swelling</i>	50
Lampiran 4 Perhitungan Fraksi Gel	51
Lampiran 5 Penentuan Kurva Standar Logam Cu dan Fe	52
Lampiran 6 Perhitungan Kadar Logam Pada Hidrogel	58
Lampiran 7 Perhitungan Efisiensi Penyerapan Ion Logam	61
Lampiran 8 Perhitungan Pembuatan Larutan	63
Lampiran 9 Dokumentasi Penelitian	68



ABSTRAK

Nama : Tiara Nurfadillah Rajab

Nim : 60500117023

**Judul : Pembuatan Hidrogel Dari Sabut Kelapa (*Cocos Nucifera* L.) Sebagai
Absorben Logam Berat Cu dan Fe**

Hidrogel merupakan salah satu bahan baku yang penting karena kemampuannya dapat menyerap air dan ion logam. Salah satu sumber dari pembuatan hidrogel yaitu sabut kelapa yang memiliki kandungan selulosa melimpah. Penelitian ini bertujuan untuk mengetahui karakteristik hidrogel sebelum dan setelah absorpsi dan kemampuannya dalam menyerap ion logam Cu dan Fe. Tahapan pembuatannya yaitu preparasi dan ekstraksi selulosa sabut kelapa, pembuatan hidrogel, uji sediaan hidrogel seperti uji organoleptic, uji rasio *swelling*, uji fraksi gel dan karakteristik dengan FTIR serta uji absorpsi dengan ion logam Cu dan Fe menggunakan SSA. Hasil penelitian ini menunjukkan bahwa hidrogel selulosa sabut kelapa adanya gugus N-H, O-H, C-H, C-O, dan C-N, sedangkan hidrogel setelah absorpsi ion logam Cu dan Fe terjadinya pergeseran pada serapan O-H dan serapan N-H serta tidak terdeteksi serapan C-H. Kemampuan absorpsi maksimum ion logam Cu dan Fe oleh Hidrogel selulosa sabut kelapa yaitu pada penambahan EDTA 0,125 gram berturut-turut sebesar 13,865% dan 16,1172%.

Kata Kunci: Sabut Kelapa, Hidrogel, Ion Logam



ABSTRACT

Name : Tiara Nurfadillah Rajab

Nim : 60500117023

**Title : Production Hydrogels From Coconut Coir (Cocos Nucifera L.) As
Absorbent for Heavy Metals Cu and Fe**

Hydrogel is an important raw material because of its ability to absorb water and metal ions. One of the sources of hydrogel production is coconut husk which contains abundant cellulose. This study aims to determine the characteristics of the hydrogel before and after absorption and its ability to absorb Cu and Fe metal ions. The stages of manufacture are preparation and extraction of coco cellulose, hydrogel manufacture, hydrogel preparation test such as organoleptic test, swelling ratio test, gel fraction and characteristics test with FTIR and absorption test with Cu and Fe metal ions using AAS. The results of this study showed that the coconut husk cellulose hydrogel had N-H, O-H, C-H, C-O, and C-N groups, while the hydrogel after the absorption of Cu and Fe metal ions had a shift in O-H absorption and N-H absorption and C-H absorption was not detected. The maximum absorption ability of Cu and Fe metal ions by coconut coir cellulose hydrogel is the addition of 0,125 gram EDTA, respectively, by 13,865% and 16,1172%.

Keywords: Coconut Husk, Hydrogel, Metal Ions



BAB I

PENDAHULUAN

A. Latar Belakang

Beberapa tahun ini penelitian serta pengembangan penggunaan bahan biomaterial sedang dilakukan secara intensif dalam berbagai bidang. Salah satu bahan biomaterial potensial yang dikembangkan yakni hidrogel. Hidrogel sebagai salah satu material yang terdiri dari satu ataupun lebih komponen pada suatu sistem yang memiliki jalinan silang berbentuk jaringan tiga dimensi dari rantai polimer serta molekul-molekul air yang mengisi ruang di antara makromolekul yang berikatan silang (Suliwarno, 2014: 46). Adanya gugus hidrofilik, fleksibilitas rantai polimer yang tinggi, serta ketersediaan volume bebas (*free volume*) yang besar antara rantai polimer, akan meningkatkan kapasitas pembengkakan pada hidrogel. Hidrogel yang dibuat dari polimer sintetik memiliki sifat penyerapan air yang sangat baik. Namun toksisitas serta karsinogenisitas monomer sisa dalam hidrogel ini bisa jadi memunculkan permasalahan (Astrini, dkk., 2016: 15). Oleh karena itu, beberapa alternatif pembuatan hidrogel dari bahan alami salah satunya serat dari sabut kelapa.

Salah satu tumbuh-tumbuhan yang banyak ditemukan di Indonesia adalah kelapa. Menurut data dari Kementerian Pertanian, produksi kelapa di Indonesia pada tahun 2016 mencapai angka 2.904.107, pada tahun ini paling banyak diproduksi kelapa dalam 5 tahun terakhir. Kelapa dikenal sebagai pohon serba guna bagi masyarakat Indonesia. Hampir semua bagiannya dapat dimanfaatkan dari akar, batang, daun, tandan, buah dan juga bunganya. Tetapi sabut kelapa kurang dimanfaatkan dengan baik, biasanya dibuang begitu saja dan menjadi limbah. Sabut kelapa memiliki kandungan serat yang tinggi (Paskawati, dkk., 2017: 13). Allah swt telah
menciptakan

tumbuh-tumbuhan di bumi ini yang mempunyai banyak manfaat yang dijelaskan dalam QS. An-Nahl/16: 11 sebagai berikut:

يُنْبِتُ لَكُمْ بِهِ الزَّرْعَ وَالزَّيْتُونَ وَالنَّخِيلَ وَالْأَعْنَابَ وَمِنْ كُلِّ الثَّمَرَاتِ إِنَّ فِي ذَلِكَ لَآيَةً لِّقَوْمٍ يَتَفَكَّرُونَ

۱۱

Terjemahnya:

“Dia menumbuhkan bagi kamu dengan air hujan itu tanam-tanaman; zaitun, korma, anggur dan segala macam buah-buahan. Sesungguhnya pada yang demikian itu benar-benar ada tanda (kekuasaan Allah) bagi kaum yang memikirkan” (Kementrian Agama RI, 2013).

Menurut tafsir Ibnu Katsir (2005: 44), Allah menumbuhkan semuanya dari bumi dengan air yang sama, tetapi hasilnya berbeda jenis, rasa, warna, bau. dan bentuknya. Sesungguhnya air hujan dan apa yang ditumbuhkannya mengandung petunjuk dan bukti yang menyatakan bahwa tidak ada Tuhan selain Allah

Ayat tersebut menjelaskan bahwa Allah swt menciptakan tumbuh-tumbuhan yang dapat dimanfaatkan untuk memenuhi kebutuhan kebutuhan hidup manusia. Namun hanya sedikit manusia yang mengetahui segala manfaat tumbuh-tumbuhan yang Allah swt ciptakan. Ayat ini juga menjelaskan kepada manusia agar lebih mencari tahu kekuasaan dan nikmat yang Allah yang tidak terbatas termasuk limbah sabut kelapa yang pemanfaatannya minim diketahui oleh manusia.

Sabut kelapa memiliki kadar selulosa yang cukup tinggi yakni 54,3% dengan α -selulosa sebanyak 26,6% dan hemiselulosa sebanyak 27,7%. Adanya lignin pada sabut kelapa dengan kadar sebesar 29,4% yang dapat dihidrolisis menjadi selulosa untuk meningkatkan kadar selulosa dalam sabut kelapa (Wardhani, dkk., 2004: 2-4). Selulosa dari sabut kelapa ini dapat dimanfaatkan dalam pembuatan hidrogel. Sabut kelapa mengandung selulosa yang kaya akan gugus -OH (Rahayu, dkk., 2014: 50), banyaknya gugus -OH yang dimiliki sangat memungkinkan untuk berikatan dengan air sehingga dapat terjadi pembengkakan pada hidrogel (Rudyardjo, 2014: 26).

Pengikat silang sebagai langkah yang paling penting dalam membuat hidrogel untuk menahan struktur tiga dimensi dan meningkatkan sifat fisik dan mekanik hidrogel. Pengikat silang secara fisik telah menjadi metode yang banyak digunakan dalam pembuatan hidrogel seperti teknik beku leleh (*Freezing Thawing Cycle*) (Zainal, dkk., 2020: 10). Penggunaan metode *freeze-thaw* dapat dimanfaatkan untuk menginduksi ikatan silang antar polimer. Ikatan silang dapat terbentuk akibat adanya perubahan suhu ekstrim pada polimer (Rahayuningdyah, dkk., 2020: 119).

Penelitian yang dilakukan oleh Fransiska dan Reynaldi (2019) yaitu pembuatan hidrogel dari iota karaginan dengan penambahan poli vini alkohol (PVA) menggunakan dua metode pengikat silang yaitu *Freezing Thawing Cycle* dan iradiasi gamma yang akan terbentuk kristal yang dapat menyerap air (hidrofilik). Konsentrasi iota karaginan sebesar 2,5% merupakan konsentrasi terbaik untuk pembuatan hidrogel PVA dengan nilai daya serap air 947,19 %. Hal tersebut menjadikan hidrogel dapat digunakan sebagai absorben dengan menggunakan metode pengikat silang secara fisika. Pemanfaatan metode ini cukup beragam, salah satunya yaitu dalam penyerapan limbah logam berat.

Pencemaran logam berat Cu dan Fe semakin meningkat seiring dengan proses meningkatnya industrialisasi. Pencemaran logam berat Cu dan Fe dalam lingkungan dapat mengakibatkan bahaya kesehatan baik pada manusia, hewan, tanaman, ataupun lingkungan. Dampak pencemaran logam berat terhadap kesehatan manusia bergantung pada seberapa banyak logam berat yang masuk dalam tubuh (Suyanto, dkk., 2010: 34). Persoalan khusus di lingkungan terutama akumulasinya hingga pada rantai makanan serta keberadaannya di alam, dan meningkatnya jumlah logam berat yang menimbulkan pencemaran terhadap tanah, udara serta air meningkat (Gultom

dan Lubis, 2014: 5). Pencemaran yang terjadi termasuk kerusakan di muka bumi dijelaskan pada Q.S Al-A'raf/ 7: 56 sebagai berikut:

وَلَا تُفْسِدُوا فِي الْأَرْضِ بَعْدَ إِصْلَاحِهَا وَادْعُوهُ خَوْفًا وَطَمَعًا إِنَّ رَحْمَتَ اللَّهِ قَرِيبٌ مِّنَ الْمُحْسِنِينَ
٥٦

Terjemahnya:

“dan janganlah kamu membuat kerusakan di muka bumi, sesudah (Allah) memperbaikinya dan berdoalah kepada-Nya dengan rasa takut (tidak akan diterima) dan harapan (akan dikabulkan). Sesungguhnya rahmat Allah amat dekat kepada orang-orang yang berbuat baik” (Kementrian Agama, 2013).

Menurut tafsir Ibnu Katsir (2005: 394), Allah swt melarang perbuatan yang menimbulkan kerusakan di muka bumi dan ha-hal yang membahayakan kelestariannya setelah diperbaiki. Sesungguhnya apabila segala sesuatunya berjalan sesuai kelestariannya, kemudian terjadilah perusakan padanya, hal tersebut akan membahayakan semua hamba Allah. Maka Allah swt, melarang hal tersebut dan memerintahkan kepada mereka untuk menyembah-Nya dan berdoa kepada –Nya serta berendah diri dan memohon belas kasihan-Nya. Perasaan takut terhadap siksaan yang ada di sisi-Nya dan penuh harap kepada pahala berlimbah yang ada di sisi-Nya. Sesungguhnya rahmat Allah selalu mengincar orang-orang yang berbuat kebaikan yaitu mereka yang mengikuti perintah Allah dan menjauhi larangan-Nya.

Ayat tersebut menjelaskan bahwa Allah swt melarang perbuatan yang menimbulkan kerusakan di muka bumi karena dapat membahayakan umat manusia. Ayat ini juga menjelaskan kepada manusia agar berbuat kebaikan termasuk pembuatan hidrogel yang akan menyerap logam berat yang dapat mengakibatkan kerusakan di muka bumi seperti pencemaran lingkungan.

Hidrogel jika dilihat dari struktur kimia dari monomernya yang mengandung gugus-gugus amina (-NH₂), asam karboksilat (-COOH), dan hidroksil (-OH) yang dapat berikatan dengan ion logam berat berpotensi untuk dapat

mengatasi masalah pencemaran lingkungan (Erizal, 2011: 169). Penelitian yang dilakukan Suliwarno dan Aji (2017) yaitu membuat hidrogel selulosa yang dicampur polimer sintesis PVA (Poli Vinil Alkohol) digunakan sebagai penyerap atau absorben logam berat yang dapat mengurangi pencemaran logam berat. Hasil penelitian ini menunjukkan bahwa pada pH rendah, daya absorpsi hidrogel selulosa-PVA dengan konsentrasi 15% dan dosis radiasi sebesar 20 kGy merupakan hasil optimal terhadap ion logam sangat kecil, dan meningkat dengan naiknya pH hingga 7. Berdasarkan latar belakang tersebut, maka perlu dilakukan penelitian tentang pembuatan hidrogel dari selulosa sabut kelapa (*Cocos Nucifera L.*) sebagai absorben logam berat.

B. Rumusan Masalah

Rumusan masalah pada penelitian ini adalah sebagai berikut:

1. Bagaimana karakteristik hidrogel dari sabut kelapa (*Cocos nucifera L.*) sebelum dan setelah absorpsi logam Cu dan Fe dengan FTIR?
2. Bagaimana kemampuan hidrogel dari selulosa sabut kelapa (*Cocos nucifera L.*) sebagai absorben logam berat Cu dan Fe?

C. Tujuan Penelitian

Tujuan pada penelitian ini adalah sebagai berikut:

1. Untuk mengetahui karakteristik hidrogel dari sabut kelapa (*Cocos nucifera L.*) sebelum dan setelah absorpsi logam Cu dan Fe dengan FTIR.
2. Untuk mengetahui kemampuan hidrogel dari selulosa sabut kelapa (*Cocos nucifera L.*) sebagai absorben logam berat Cu dan Fe.

D. Manfaat Penelitian

Manfaat pada penelitian ini adalah sebagai berikut:

1. Memberikan informasi kepada masyarakat tentang pemanfaatan sabut kelapa.

2. Memberikan informasi kepada mahasiswa tentang pemanfaatan hidrogel dan sebagai referensi untuk penelitian selanjutnya.



BAB II TINJAUAN PUSTAKA

A. Sabut Kelapa

Indonesia merupakan salah satu negara tropis yang banyak membudidayakan tanaman kelapa. Pertanaman kelapa di Indonesia merupakan 31,2% dari total luas areal kelapa dunia. Peringkat kedua diduduki Filipina sebanyak 25,8 %, disusul India sebanyak 16,0 %, Sri Langka sebanyak 3,7 % dan Thailand sebanyak 3,1 % (Litbang Kementrian Pertanian, 2005: 1). Menurut data dari Kementrian Pertanian, pertumbuhan produksi kelapa terbanyak di Indonesia dalam 5 tahun terakhir yaitu pada provinsi Kalimantan Utara, Kepulauan Riau dan Papua dengan nilai berturut-turut 16,61%, 13,67% dan 9,73%.

Bagi warga Indonesia, kelapa ialah bagian dari kehidupannya sebab seluruh bagian tumbuhan bisa dimanfaatkan untuk memenuhi kebutuhan ekonomi, sosial serta budaya. Di samping itu, arti penting kelapa untuk warga juga terlihat dari luasnya area perkebunan rakyat yang menggapai 98% dari 3,74 juta ha serta mengaitkan lebih dari 3 juta rumah tangga petani. Perusahaan kelapa juga membuka tambahan kesempatan kerja bagi masyarakat untuk pengolahan produk turunan serta hasil samping yang banyak macamnya (Subagio, 2011: 16). Segala sesuatu yang ada di bumi ini telah Allah swt ciptakan dengan sebaik-baik ciptaan-Nya yang dijelaskan dalam

QS. Al-Baqarah/2: 29

هُوَ الَّذِي خَلَقَ لَكُمْ مَّا فِي الْأَرْضِ جَمِيعًا ثُمَّ اسْتَوَىٰ إِلَى السَّمَاءِ فَسَوَّاهُنَّ سَبْعَ سَمَوَاتٍ وَهُوَ بِكُلِّ شَيْءٍ عَلِيمٌ ۚ ٢٩

Terjemahnya:

“Dialah Allah, yang menjadikan segala yang ada di bumi untuk kamu dan Dia berkehendak (menciptakan) langit, lalu dijadikan-Nya tujuh langit. Dan Dia Maha Mengetahui segala sesuatu” (Kementrian Agama RI, 2013).

Menurut tafsir Ibnu Katsir (2005: 98-99), setelah Allah swt menyebutkan bukti keberadaan dan kekuasaan-Nya kepada makhluk-Nya melalui apa yang mereka saksikan sendiri pada diri mereka, lalu Dia menyebutkan bukti lain melalui apa yang mereka saksikan, yaitu penciptaan langit dan bumi. Oleh karena itu, ilmu Allah meliputi segala sesuatu yang Dia ciptakan. Allah menciptakan bumi sebelum langit, dan se usai menciptakan bumi membumbung asap darinya sebagian langit di atas sebagian lainnya. Dan tujuh bumi, yakni sebagian bumi di bawah bagian bumi lainnya.

Ayat tersebut menjelaskan tentang besarnya kekuasaan Allah swt yang telah menciptakan bumi, langit beserta isinya dalam keadaan sempurna. Namun, hanya sedikit saja manusia yang mensyukuri nikmat dari Allah swt. Dalam ayat ini pula menjelaskan kepada manusia bahwa segala macam ciptaan Allah swt tidak ada yang sia-sia, termasuk sabut kelapa yang pemanfaatannya hanya sebatas kebutuhan rumah tangga.



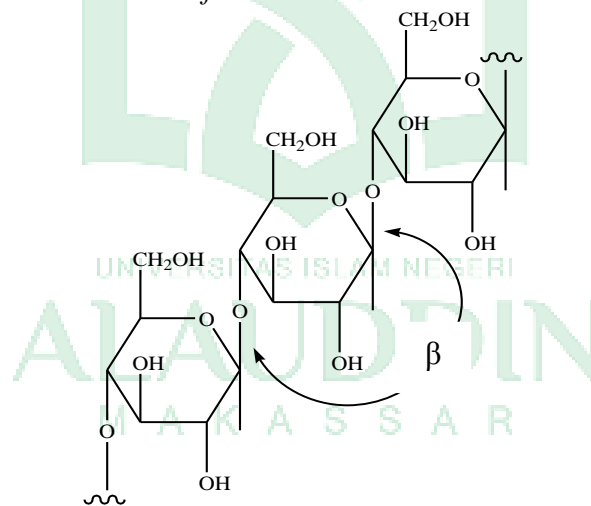
Gambar 2.1 Sabut Kelapa
(Sumber: Dokumentasi Penelitian)

Pemanfaatan limbah kelapa (Gambar 2.1) oleh masyarakat Indonesia dapat berupa sabut, tempurung, lidi dan daun kelapa sebagai bahan kerajinan tangan serta alat rumah tangga. Sabut kelapa dapat dibuat menjadi keset. Tempurung dapat dimanfaatkan dalam berbagai macam kerajinan dan alat rumah tangga. Lidi yang

berasal dari tulang daun kelapa dimanfaatkan untuk membuat sapu dan daun kelapa dimanfaatkan untuk hiasan rumah tangga (Pratiwi dan Sutara, 2011: 2)

Menurut Gustinenda dan Margo (2017: 8-9), klasifikasi kelapa dalam taksonomi tumbuhan adalah sebagai berikut:

Kingdom : *Plantae*
 Divisi : *Spermatophyta*
 Sub Divisi : *Angiospermae*
 Kelas : *Monocotyledonae*
 Ordo : *Palmales*
 Famili : *Palmae*
 Genus : *Cocos*
 Spesies : *Cocos nucifera* L.



Gambar 2.2 Struktur Bangun Molekul Selulosa
 (Sumber: Paskawati, dkk, 2017: 13)

Selulosa merupakan senyawa organik penyusun utama dinding sel tumbuhan. Sifat dari selulosa adalah berbentuk senyawa yang berserat, mempunyai tegangan tarik yang tinggi, tidak larut dalam air, dan pelarut organik. Selulosa terdiri dari hidrokarbon yang berbentuk polimer dan mempunyai rumus bangun molekul

$(C_6H_{10}O_5)_n$ (Gambar 2.2). Berdasarkan derajat polimerisasi (DP), selulosa dapat dibedakan atas tiga jenis yaitu α Selulosa (*Alpha Cellulose*), β Selulosa (*Betha Cellulose*) dan μ Selulosa (*Gamma Cellulose*) (Paskawati, dkk., 2017: 13). Selulosa juga termasuk bahan hidrofilik dengan ikatan hidrogen antar dan intramolekul tinggi dan gaya Van der Waals yang menyulitkan pelarutan (Zainal, dkk., 2020: 3).

Sabut kelapa memiliki kandungan yang terbagi atas dua kelompok yaitu karbohidrat terdiri dari selulosa dan hemiselulosa serta nonkarbohidrat terdiri dari lignin (Suryani, 2010: 7). Sabut kelapa mempunyai sifat absorpsi yang cukup baik serta pula mempunyai kandungan selulosa yang besar. Komposisi sabut kelapa dapat dilihat pada Tabel 2.1 (Wardhani, dkk., 2004: 2-6).

Tabel 2.1 Komposisi Sabut Kelapa

Parameter	Kadar (%)
α Selulosa	26,6
Hemiselulosa	27,7
Lignin	29,4
Air	8
Komponen Ekstraktif	4,2
Uronat Anhidrat	3,5
Nitrogen	0,1
Abu	0,5

B. Absorben

Absorben merupakan zat padat yang dapat menyerap komponen tertentu dari suatu fase fluida. Kebanyakan absorben adalah bahan-bahan yang sangat berpori dan absorpsi berlangsung terutama pada dinding pori-pori atau pada letak-letak tertentu di dalam partikel tersebut. Pemisahan terjadi karena perbedaan bobot molekul atau karena perbedaan polaritas yang menyebabkan sebagian molekul melekat pada permukaan tersebut lebih erat daripada molekul lainnya. Absorben dapat

dikelompokkan menjadi dua yaitu kelompok polar dan non polar (Cahyaningrum, 2016: 12).

Kekuatan interaksi antara adsorbat dengan adsorben dipengaruhi oleh sifat dari adsorbat maupun adsorbennya. Hal yang umum yang dapat diketahui untuk melihat komponen mana yang diadsorpsi lebih kuat adalah kepolaran adsorben dengan adsorbatnya. Apabila adsorbennya bersifat polar, maka komponen yang bersifat polar akan terikat lebih kuat dibandingkan dengan komponen yang kurang polar. Selain itu porositas adsorben juga mempengaruhi daya absorpsi dari suatu adsorben. Adsorben dengan porositas yang besar mempunyai kemampuan menyerap yang lebih tinggi dibandingkan dengan adsorben yang memiliki porositas kecil. Untuk meningkatkan porositas dapat dilakukan dengan mengaktifasi secara fisika, seperti mengalirkan uap air panas ke dalam pori-pori adsorben atau mengaktifasi secara kimia (Nurliza, 2020: 19-18).

Menurut Apriliani (2010: 10), sifat adsorben yang dapat mempengaruhi proses penyerapan adalah sebagai berikut:

1. Kemurnian adsorben, adsorben yang lebih murni memiliki daya serap lebih baik.
2. Luas permukaan, semakin luas permukaan adsorben maka jumlah adsorbat yang terserap akan semakin banyak.
3. Temperatur, adsorbs merupakan proses eksotermis sehingga jumlah adsorbat akan bertambah dengan berkurangnya temperatur adsorbat.
4. Waktu kontak, suatu adsorben yang ditambahkan ke dalam suatu cairan membutuhkan waktu untuk mencapai kesetimbangan. Waktu yang dibutuhkan berbanding terbalik dengan jumlah adsorben yang digunakan.

5. Kecepatan pengadukan, jika pengadukan terlalu lambat maka proses adsorpsi berlangsung lambat pula, tetapi bila pengadukan terlalu cepat kemungkinan struktur adsorben cepat rusak, sehingga proses adsorpsi kurang optimal
6. Tekanan, kenaikan tekanan absorbat mengakibatkan kenaikan jumlah zat yang diabsorpsi

Suatu zat dapat digunakan sebagai adsorben untuk tujuan pemisahan bila mempunyai daya adsorpsi selektif, berpori (mempunyai luas permukaan persatuan massa yang besar) dan mempunyai daya ikat yang kuat terhadap zat yang hendak dipisahkan secara fisik dan kimia (Purwanti, 2016: 13). Bahan yang dapat digunakan sebagai adsorben adalah silika gel, alumina, baxite, karbon aktif, hidrogel dan lain-lain (Costa, 2019: 12).

Hidrogel dapat digunakan sebagai absorben yang memiliki sifat kemampuan menyerap air ataupun larutan (Sugihartono, dkk., 2020: 35). Daya serap hidrogel banyak dimanfaatkan dalam berbagai bidang diantaranya plester penurun demam (Darwis dan Hardiningsih, 2010: 54), sebagai penutup luka (Rudyardjo, 2014: 27), penyerap larutan garam (Sugihartono, dkk., 2020: 35), penyerap zat warna metilen biru (Thinkohkaew, dkk., 2020: 6602), penyerap zat warna metanil kuning (Tur-Ridha, 2019: 1), serta penyerap logam berat seperti logam Cu dan Fe (Erizal, dkk., 2011: 168).

Penelitian yang dilakukan oleh Thinkohkaew, dkk (2020) yang menggunakan sabut kelapa sebagai bahan utama pembuatan hidrogel yang diaplikasikan dalam penyerapan air menunjukkan rasio *swelling* sebesar 550%. Pada proses penyerapan tersebut, gugus hidrofilik yang terdapat pada hidrogel akan saling berinteraksi dengan air. Pori-pori yang terdapat pada hidrogel merupakan jalan masuknya air.

Perlahan-lahan air akan terserap masuk ke dalam jaringan hidrogel dan mengisi jaringan hidrogel hingga penuh.

C. Hidrogel

Hidrogel sebagai salah satu bahan baku yang penting karena kemampuannya dapat menyerap air atau cairan dalam jumlah yang relatif besar (Erizal, dkk., 2015: 28). Hidrogel dapat berikatan silang dengan struktur 3 dimensi yang dapat menyerap air mencapai 100 hingga 1000 kali bobot keringnya melalui ikatan hidrogen (Puspitasari, dkk., 2011: 163). Hidrogel dalam keadaan bengkak atau saat menyerap air, terasa lembut dan kenyal, menyerupai jaringan hidup yang menunjukkan biokompatibilitas yang sangat baik (Singh, dkk., 2017: 25). Oleh sebab sifat fisik yang khas tersebut, pada awal mulanya hidrogel disintesis untuk digunakan sebagai matriks pelepasan/ pelepasan obat, kontak lensa, immobilisasi enzim serta sel (Fransiska dan reynaldi, 2019: 26).

Menurut Ahmed (2015: 106), klasifikasi hidrogel berdasarkan komposisi polimer adalah sebagai berikut:

1. Hidrogel homopolimer

Hidrogel homopolimer adalah jaringan polimer yang berasal dari satu spesies monomer, yaitu unit struktural dasar yang terdiri dari jaringan polimer apapun. Homopolimer mungkin memiliki kerangka yang saling berhubungan antar strukturnya tergantung pada sifat monomer dan teknik polimerisasi.

2. Hidrogel kopolimer

Hidrogel kopolimer terdiri dari dua atau lebih spesies monomer yang berbeda dengan setidaknya satu komponen hidrofilik, tersusun secara acak, blok atau konfigurasi bolak-balik di sepanjang rantai jaringan polimer.

3. Multipolimer hidrogel penembus penetrasi

Multipolimer hidrogel penembus penetrasi adalah salah satu kelas penting hidrogel, terbuat dari dua komponen polimer sintesis dan/ atau alami ikatan silang independen, yang terkandung dalam bentuk jaringan. Hidrogel semi jenis ini, salah satu komponennya adalah polimer ikatan silang dan komponen lainnya adalah polimer non-ikatan silang.

Hidrogel mampu mengikat dan melepaskan molekul air. Ketika hidrogel mengalami kontak langsung dengan air, maka kelompok hidrofilik hidrogel yang bersifat polar akan terhidrasi dengan molekul air yang akan membentuk ikatan primer. Pembentukan ikatan ini terjadi karena adanya rongga-rongga yang berukuran sangat kecil (nano) pada polimer hidrogel. Hal tersebut menyebabkan terbentuknya ikatan hidrogel antara kelompok polar hidrogel dan molekul air (Tur-Ridha, 2019: 13). Proses pembengkakan hidrogel dipengaruhi oleh adanya gugus hidrofilik pada hidrogel tersebut. Gugus-gugus hidrofilik yaitu gugus $-OH$, $-COOH$, $-CONH_2$, dan SO_3H . Ketidaklarutan hidrogel dalam air dipengaruhi oleh bentuk tiga dimensi dari hidrogel tersebut (Zainal, dkk., 2020: 9). Pada keadaan tertentu hidrogel sanggup melepas air tersimpan untuk kemudian dikembalikan ke media asalnya yaitu tanah (Adi, 2012: 2).

Ikatan yang dapat mengikat molekul air di dalam sistem, hal ini disebabkan oleh sifat hidrofilik dari makromolekul. Fraksi berat air lebih besar dari pada fraksi makromolekul pembentuk jaringan tiga dimensi. Ikatan kovalen dalam hidrogel dalam bentuk jaringan tiga dimensi bersifat permanen yang tahan terhadap pelarut,

dan dapat terurai atau rusak dengan reaksi kimia dan tekanan mekanik. Molekul air merupakan komponen utama hidrogel yang memungkinkan adanya penetrasi dari senyawa atau pelarut dengan berat molekul rendah (Suliwarno, 2014: 46). Faktor eksternal yang dapat mempengaruhi penyerapan hidrogel yaitu kelembaban, tekanan, temperatur, derajat keasaman dari media aplikasinya, dan juga karena adanya bahan kimia lain (Adi, 2012: 3).

Hidrogel memiliki gugus hidrofilik dan hidrofobik. Gugus hidrofilik menyebabkan hidrogel membengkak, sedangkan gugus hidrofobik mengontrol laju pembengkakan hidrogel. Gel sensitif suhu diketahui dengan adanya komponen hidrofobik, sedangkan pembengkakan dan penyusutan hidrogel dapat ditentukan dengan mengubah jumlah gugus hidrofilik menjadi hidrofobik. Secara umum, adanya gugus asam atau basa yang dapat terionisasi yang terikat pada rantai polimer dalam struktur hidrogel (Mahinroosta, dkk., 2020: 42-43). Hidrogel membengkak pada suhu di bawah suhu transisi fase volume, sedangkan pada temperatur di atas fase volume suhu transisi mengalami penyusutan. Perubahan ini terkait dengan keseimbangan hidrofilik menjadi hidrofobik dalam struktur jaringan (Mahinroosta, dkk., 2020: 47).

D. Pengikat Silang

Hidrogel dapat dibentuk dengan menggunakan metode ikat silang, baik secara fisik maupun kimia. Pengikatan silang fisik menggunakan metode pembekuan, sedangkan pengikatan silang kimia dengan menambahkan zat kimia yang berfungsi sebagai agen pengikat silang. Pengikat silang (*cross-linking*) adalah salah satu bahan yang digunakan pada metode pengikatan secara fisika dan kimia. Penggunaan pengikat silang yaitu sebagai penghubung antara polimer yang satu dengan polimer yang lainnya. Pada pembuatan hidrogel, pengikat silang yang

digunakan akan menghasilkan ikatan kovalen pada polimer yang bereaksi (Tur-Ridha, 2019: 14).

Menurut Zainal, dkk (2020), ada beberapa teknik pembentukan ikatan silang adalah sebagai berikut:

1. Pengikat silang secara fisika yaitu teknik *Freeze-thawing*, teknik fotoinisiator, dan teknik induksi radiasi.
2. Pengikat silang secara kimia yaitu menggunakan asam sitrat, epiklorohidrin, dan Glutaraldehid.

Menurut Singh, dkk., (2017: 28-29), ada beberapa metode pengikat silang secara fisika adalah sebagai berikut:

1. Pemanasan/ Pendinginan Polimer

Metode ini dilakukan dengan cara mendinginkan larutan gelatin atau karagenan untuk membentuk gel ikatan silang secara fisik. Pembentukan gel karena asosiasi heliks, pembentukan heliks, dan membentuk zona persimpangan.

2. Koaservasi komplek

Pembentukan gel koaservasi komplek dengan pencampuran polianion dengan polikation. Prinsip yang mendasari metode ini adalah polimer dengan muatan berlawanan yang menempel bersama-sama dan membentuk kompleks yang larut dan tidak larut tergantung pada konsentrasi dan pH larutan masing-masing.

3. Interaksi ionik

Penambahan ion di- atau trivalen pada polimer ionik untuk menghubungkan secara silang antara polimer. Metode ini mendasari prinsip larutan polielektrolit pembentuk gel (misalnya Na^+ dan alginat) dengan ion multivalen muatan berlawanan (misalnya Ca^{2+} dan 2Cl^-).

4. Ikatan hidrogen

Ikatan hidrogen terbentuk melalui asosiasi atom hidrogen yang kekurangan elektron dan gugus dengan fungsi kerapatan elektron yang tinggi. Faktor yang mempengaruhi hidrogel adalah rasio molar masing-masing polimer, konsentrasi polimer, jenis pelarut, suhu larutan dan struktur polimer.

Metode pengikatan silang secara fisik menciptakan hidrogel yang bersifat non permanen. Keunggulan metode ini ialah prosesnya yang relatif gampang serta tidak membutuhkan perantara pengikat silang, dengan permasalahan pada pemakaian material perantara mewajibkan proses purifikasi lanjutan sebelum produk hidrogel diaplikasikan. Metode pengikatan silang secara kimiawi merupakan teknik pembuatan hidrogel yang menggunakan bahan-bahan kimia tambahan sebagai perantara pengikat silang untuk menghasilkan ikatan kovalen antar polimer yang bereaksi. Pengikat silang berfungsi sebagai jembatan penghubung antara polimer utama dan sekunder untuk membentuk satu ikatan kovalen. Pengikat silang juga digunakan sebagai material yang berperan untuk mengaktivasi permukaan polimer utama sehingga bisa bereaksi dengan material sekunder (Adi, 2012: 5).

E. Logam Berat

Logam berat merupakan komponen alami tanah. Logam berat tidak dapat didegradasi maupun dihancurkan. Logam berat disebut berbahaya karena umumnya memiliki rapat massa tinggi sebesar 5 g/cm^3 dan sejumlah konsentrasi kecil dapat bersifat racun dan berbahaya. Logam berat diketahui dapat mengumpul didalam tubuh suatu organisme dan tetap tinggal dalam tubuh untuk jangka waktu lama sebagai racun yang terakumulasi. Menurut Herlandien (2013: 8), berdasarkan sudut pandang toksikologi, logam berat ini dapat dibagi dalam dua jenis adalah sebagai berikut:

1. Logam berat esensial, dimana keberadaannya dalam jumlah tertentu sangat dibutuhkan oleh organisme hidup, namun dalam jumlah yang berlebihan dapat menimbulkan efek racun seperti Zn, Cu, Fe, Co, Mn dan lain sebagainya.
2. Logam berat non esensial atau beracun, dimana keberadaannya dalam tubuh masih belum diketahui manfaatnya dan dapat bersifat racun, seperti Hg, Cd, Pb, Cr dan lain-lain

Logam berat pada memiliki sifat toksik serta beresiko untuk organisme hidup, meski sebagian diantaranya dibutuhkan dalam jumlah kecil. Sebagian logam berat banyak digunakan dalam kehidupan sehari-hari. Secara langsung ataupun tidak langsung toksisitas dari polutan itulah yang kemudian jadi faktor terbentuknya pencemaran pada lingkungan sekitarnya. Apabila kadar logam berat sudah melebihi ambang batas yang ditentukan dapat membahayakan bagi kehidupan (Suprianto dan Lelifajri, 2009: 5).

1. Tembaga (Cu)

Kuprum ataupun tembaga (Cu) mempunyai sistem kristal kubik, yang secara fisik berwarna kuning serta apabila dilihat memakai mikroskop akan berwarna merah muda kecoklatan hingga keabuan. Cu termasuk golongan logam, berwarna merah serta mudah berubah bentuk. Tembaga dengan nama kimia *cuprum* dilambangkan dengan Cu (Sartika, 2012: 29). Tembaga dalam tabel periodik memiliki lambang Cu dengan nomor atom 29 dan memiliki massa atom standar 63,546 g/mol. Logam Cu melebur pada 1038°C dan memiliki titik didih 2562°C. Logam ini banyak digunakan pada pabrik yang memproduksi alat-alat listrik, gelas dan zat warna yang biasanya bercampur dengan logam lain seperti alloy dengan perak, kadmium, timah putih dan seng (Asriani, 2017: 33).



Gambar 2.3 Logam Tembaga (Cu)
(Sumber: Herlandein, 2013: 11)

Logam Cu (Gambar 2.3) merupakan salah satu bentuk logam berat esensial untuk kebutuhan makhluk hidup sebagai elemen mikro. Logam ini dibutuhkan sebagai unsur yang berperan dalam pembentukan enzim oksidatif dan pembentukan kompleks Cu-protein yang dibutuhkan untuk pembentukan hemoglobin, kolagen, pembuluh darah (Herlandien, 2013: 11).

2. Besi (Fe)

Besi atau *ferrum* (Gambar 2.4) adalah logam yang berasal dari bijih besi yang banyak digunakan untuk kehidupan manusia sehari-hari dari yang bermanfaat sampai dengan yang merugikan. Dalam tabel periodik besi mempunyai simbol Fe dengan nomor atom 26, berwarna putih keperakan, lunak, dapat dibentuk dan memiliki nilai ekonomi yang cukup tinggi. Besi adalah logam yang paling banyak dan paling beragam penggunaannya. Hal ini dikarenakan oleh beberapa hal yaitu kelimpahan besi di kulit bumi cukup besar, pengolahannya relatif mudah dan murah dan memiliki sifat-sifat yang menguntungkan dan mudah dimodifikasi (Nurliza, 2020: 14-15).



Gambar 2.4 Logam Besi (Fe)
(Sumber: Nurliza, 2020: 15)

Kelebihan besi dalam jumlah besar pada manusia bersifat toksik. Kerusakan jaringan karena akumulasi besi disebut hemakromatosis, penderita hemakromatosis menunjukkan akumulasi besi di hati, limpa, jantung. Penderita ini beresiko terserang serosis, kanker hati, jantung dan berbagai penyakit lainnya. Konsumsi besi dalam 13 dosis besar akan merusak alat pencernaan secara langsung, lalu besi akan mengikuti peredaran darah. Kerusakan hati yang terlalu lama akan menyebabkan kematian (Herlandien, 2013: 112-13).

Reaksi absorpsi hidrogel terhadap ion-ion logam transisi seperti ion logam Cu dan ion logam Fe pada dasarnya merupakan reaksi pembentukan ion kompleks. Ion logam Cu dan ion logam Fe sebagai ion logam pusat (*central metal ions*) berfungsi sebagai donor orbital dan hidrogel yang terbentuk dari senyawa-senyawa yang mengandung pasangan elektron bebas berfungsi sebagai ligan (Erizal, dkk., 2011: 172).

F. *Fourier Transform Infrared (FTIR)*

Fourier Transform Infrared (FTIR) adalah teknik yang berguna untuk mengidentifikasi struktur kimia suatu zat. Hal ini didasarkan pada prinsip yang berdasarkan pada komponen suatu zat, yaitu ikatan kimia dapat menyerap cahaya inframerah pada frekuensi yang ada (Singh, dkk., 2017: 30). Pengujian FTIR dilakukan untuk mengetahui informasi terkait ikatan kimia. Ikatan kimia tersebut diindikasikan dengan puncak-puncak yang berbeda. Metode pembacaan spektrum vibrasi molekul pada FTIR ada dua macam, yaitu metode reflektansi dan metode transmisi. Metode transmisi memerlukan teknik khusus dalam preparasi sampel yaitu harus dalam bentuk pellet (Sulistiyani, 2017: 174).



Gambar 2.5 Spektroskopi Fourier Transform Infrared (FTIR)
(Sumber: Dokumentasi Penelitian)

Prinsip kerja dari FTIR (Gambar 2.5) sampel yang akan diukur kemudian diidentifikasi berupa atom atau molekul. Sinar infra merah berfungsi sebagai sumber sinar dipisah jadi dua berkas, satu dilewatkan melalui sampel serta yang lain melalui pembanding. Setelah melewati monokromator, berkas sinar akan diteruskan pada detektor serta diubah jadi sinyal listrik yang setelah itu direkam oleh rekorder. Selanjutnya dibutuhkan amplifier apabila sinyal yang dihasilkan sangat lemah. Sampel yang dapat diuji oleh FTIR dalam bentuk pelet, bubuk serat dan cairan. Sinar inframerah yang khas dihasilkan dalam rentang pertengahan inframerah dari spektrum cahaya (Pambudi, 2017: 442).

Ada dua jenis vibrasi, yaitu vibrasi ulur (*stretching vibrations*) dan vibrasi tekuk (*bending vibrations*). Suatu ikatan ulur (*stretch*) memiliki energi yang lebih besar jika dibandingkan dengan ikatan tekuk (*bend*). Oleh karena itu, serapan ulur akan menampakkan frekuensi yang lebih tinggi pada spektrum inframerah, daripada serapan tekuk pada ikatan yang sama (Suseno, 2008: 23-24).

Keuntungan FTIR adalah alat yang cepat menganalisis sampel secara langsung tanpa adanya perlakuan khusus terlebih dahulu. Kekurangan yang dapat ditimbulkan pada FTIR adalah jika terjadinya tumpang tindih hasil serapan molekul pada sampel yang mengakibatkan pengolahan data menjadi sulit (Rafly, 2016: 230).

G. Spektrofotometer Serapan Atom (SSA)

Analisis penyerapan logam berat seperti Ag, Cu dan Fe dapat dilakukan dengan metode spektrofotometer serapan atom (SSA). Spektrofotometer serapan atom adalah alat instrumen dengan pengukuran absorbansi atau konsentrasai dengan prinsip kerja penyerapan sinar oleh materi dengan panjang gelombang tertentu. Penyerapan sinar oleh atom netral dalam kondisi gas, sinar yang diserap itu biasanya sinar tampak ataupun ultraviolet. Analisis senyawa menggunakan SSA yaitu unsur yang dianalisis berada sebagai atom yang netral, dalam keadaan uap dan disinari dengan berkas sinar yang berasal dari sumber sinar (Mardin, 2012: 23).

Metode SSA berprinsip pada penyerapan sinar oleh atom. Atom- atom menyerap sinar tersebut pada panjang gelombang tertentu, bergantung pada sifat unsurnya. Sampel mengalami proses atomisasi dengan nyala menggunakan tungku. Proses atomisasi suhunya harus terkendali dengan sangat hati-hati agar proses atomisasinya sempurna. Umumnya suhu dinaikkan secara bertahap, untuk menguapkan serta untuk mendisosiasikan senyawa yang dianalisis.



Gambar 2.6 Spektroskopi Serapan Atom (SSA)
(Sumber: Dokumentasi Penelitian)

Prinsip kerja SSA (Gambar 2.6) berdasarkan hukum Lambert Beer menyatakan bila cahaya monokromatik melalui suatu media atau larutan, maka sebagian cahaya tersebut diserap, sebagian dipantulkan, dan sebagian lagi dipancarkan (Hidayati, 2013: 10). Rumus dari ukum Lambert-Beer adalah sebagai berikut:

$$A = e.b.c$$

Atau

$$A = a.b.c$$

Keterangan:

A = Absorbansi

e = absorptivitas molar

b = tebal kuvet

c = konsentrasi larutan

a = tetapan absorptivitas

Menurut Anggriana (2011: 28-2), spektrofotometer serapan atom terdiri atas 5 komponen utama adalah sebagai berikut:

1. Sumber cahaya
2. Pengabut dan Pembakar
3. Monokromator
4. Detektor
5. Amplifier dan Pembacaan

Proses atomisasi dengan metode nyala dimulai terjadi proses desolvasi (penguapan pelarut), sehingga sisanya adalah butir-butir halus padatan pada sampel. Kemudian ada dua kemungkinan yaitu pertama butir-butir padat pada sampel itu langsung terurai, menjadi atom-atom yang siap dianalisis, kedua butir-butir padat pada sampel itu berubah menjadi uap terlebih dahulu dan selanjutnya terurai menjadi atom-atom yang dapat diukur (Mardin, 2012: 23-24).

Menurut Manuhutu (2019: 20), gangguan-gangguan yang dapat terjadi dalam SSA adalah sebagai berikut:

1. Gangguan yang berasal dari tempat sampel yang dapat mempengaruhi banyaknya sampel yang mencapai nyala.
2. Gangguan kimia yang dapat mempengaruhi jumlah atau banyaknya atom yang terjadi di dalam nyala akibat disosiasi senyawa-senyawa yang tidak sempurna dan ionisasi atom-atom di dalam nyala.
3. Gangguan oleh serapan yang disebabkan bukan oleh serapan atom yang dianalisis tapi serapan molekul-molekul yang tidak terdisosiasi dalam nyala.
4. Gangguan oleh penyerapan non atomik.



BAB III

METODE PENELITIAN

A. Waktu dan Tempat

Penelitian ini dilaksanakan pada bulan Maret sampai Juni 2021 bertempat di Laboratorium Kimia Analitik, Laboratorium Kimia Anorganik, Laboratorium Riset Fakultas Sains dan Teknologi Universitas Islam Negeri Alauddin Makassar serta Laboratorium Biofarmaka Fakultas Farmasi Universitas Hasanuddin.

B. Alat dan Bahan

1. Alat

Alat yang digunakan pada penelitian ini adalah *fourier transform infrared* (FTIR) *Thermo Fisher Scientific*, Spektrofotometer Serapan Atom (SSA) (AA240FS), *freezer*, neraca analitik, oven *memmert*, blender, *shaker*, *sieve shaker*, *hotplate*, pH meter dan peralatan gelas.

2. Bahan

Bahan yang digunakan pada penelitian ini adalah akuades, Asam asetat (CH_3COOH) glasial, padatan besi (III) nitrat ($\text{Fe}(\text{NO}_3)_3$), Etilen diamin Tetra Asetat (EDTA), kertas saring, Kitosan, natrium hidroksida (NaOH) 0,5 M dan 2 M, natrium hipoklorit (NaOCl) 3%, sabut kelapa (*Cocos nucifera* L.), padatan tembaga sulfat ($\text{Cu}(\text{NO}_3)_2$) dan *water one*.

C. Prosedur Kerja

1. Preparasi Sabut Kelapa (Taksitta, dkk., 2020: 7)

Sabut kelapa kering dipisahkan dari lapisan luar menjadi serat individu dan dicuci dengan air untuk menghilangkan residu debu sabut, kemudian dijemur di

bawah matahari sampai kering. Sabut kelapa yang kering dihaluskan dengan blender, lalu diayak dengan menggunakan *sieve shaker* berukuran 40 mesh.

2. Ekstraksi Selulosa dari Sabut Kelapa (Taksitta, dkk., 2020: 7)

Sabut kelapa yang sudah halus kemudian ditimbang sebanyak 20 gram. Setelah itu, dimasukkan ke dalam gelas kimia 1000 mL dan ditambahkan NaOH 0,5 M sebanyak 600 mL sambil dipanaskan pada suhu 95°C selama 2 jam dengan pengadukan. Larutan coklat tua yang mengandung serat disaring dan dicuci dengan akuades hingga larutan netral. Kemudian ditambahkan NaClO 3% sebanyak 200 mL ke dalam larutan, selanjutnya ditambahkan CH₃COOH glasial sebanyak 5 mL. Setelah itu, diaduk pada suhu 80°C selama 1 jam. Campuran disaring dan dicuci dengan akuades hingga netral. Kemudian filtratnya dikeringkan dalam oven pada suhu 100°C.

3. Pembuatan Hidrogel (Ritonga, dkk., 2019: 2)

Selulosa sabut kelapa ditimbang sebanyak 1 gram, kemudian ditambahkan kitosan sebanyak 1,5 gram dan dilarutkan dengan 25 mL CH₃COOH 2%. Kemudian ditambahkan EDTA sebanyak 0,100; 0,125; dan 0,150 gram. Setelah itu, diteteskan NaOH 2 M sebanyak 5 tetes yang selanjutnya dicetak ke dalam cawan petri dan ratakan ke seluruh permukaan cawan (Ritonga, dkk., 2019: 2). Hidrogel yang telah dicetak dalam cawan petri dibekukan pada suhu -20 °C selama 18 jam, kemudian diletakkan pada suhu ruang selama 6 jam. Perlakuan tersebut dilakukan sebanyak 4 siklus, kemudian sediaan dioven pada suhu 70 °C selama 7 jam (Rahayuningdyah, dkk., 2020: 119).

4. Uji Sediaan Hidrogel

a. Uji Organoleptik (Rahayuningdyah, dkk., 2020: 119)

Hidrogel diamati secara visual bentuk, elastisitas serta tekstur yang ada dalam cawan petri.

b. Uji Rasio Swelling (Rahayuningdyah, dkk., 2020: 119)

Hidrogel dipotong kecil sebanyak 2 gram sebagai bobot awal (W_0), kemudian direndam dalam 150 mL akuades selama 24 jam dan ditimbang beratnya sebagai bobot akhir (W_1). Perhitungan fraksi gel menggunakan rumus berikut:

$$\% \text{ rasio swelling} = \frac{W_1 - W_0}{W_0} \times 100\%$$

c. Uji Fraksi Gel (Rahayuningdyah, dkk., 2020: 119)

Hidrogel dipotong kecil sebanyak 2 gram sebagai bobot awal (W_0), kemudian direndam dalam 150 mL akuades selama 24 jam, lalu dikeringkan kembali dalam oven pada suhu 50°C kurang lebih selama 4 jam dan ditimbang beratnya sebagai bobot akhir (W_1). Perhitungan fraksi gel menggunakan rumus berikut:

$$\% \text{ fraksi gel} = \frac{W_1}{W_0} \times 100\%$$

d. Karakterisasi menggunakan FTIR (Gunawan dan Lestari, 2020: 13)

Hidrogel ditempatkan dalam kontak dengan Kristal ATR kemudian ditahan oleh penjepit kompresi *micromete controlled*. Setelah itu, diuji pada pada bilangan gelombang $500\text{-}4000 \text{ cm}^{-1}$.

5. Pembuatan Larutan Ion Logam

a. Pembuatan Larutan Ion Logam Fe (Arba, 2017: 40)

1) Pembuatan Larutan Induk Fe 1000 ppm

Sebanyak 0,35 gram $\text{Fe}(\text{NO}_3)_3$ dimasukkan ke dalam labu takar 100 mL dan ditambahkan *waterone* hingga tanda batas dan dihomogenkan.

2) Pembuatan larutan Standar Fe 100 ppm

Larutan induk Fe 1000 ppm dipipet 10 mL ke dalam labu ukur 100 mL, kemudian diencerkan dengan *waterone* hingga tanda batas.

3) Pembuatan Deret Standar Baku Fe 10, 20, 30, 40, 50 ppm

Larutan induk Fe 100 ppm dipipet 5, 10, 15, 20 dan 25 mL ke dalam labu ukur 50 mL, kemudian diencerkan dengan *waterone* hingga tanda batas.

b. Pembuatan Larutan Ion Logam Cu (Asriani, 2017: 39)

1) Pembuatan Larutan Induk Cu 1000 ppm

Sebanyak 0,26 gram $\text{Cu}(\text{NO}_3)_2$ dimasukkan ke dalam labu takar 100 mL dan ditambahkan *waterone* hingga tanda batas dan dihomogenkan.

2) Pembuatan larutan Standar Cu 100 ppm

Larutan induk Fe 1000 ppm dipipet 10 mL ke dalam labu ukur 100 mL, kemudian diencerkan dengan *waterone* hingga tanda batas

3) Pembuatan Larutan Standar Baku Cu 10, 20, 30 40, 50 ppm

Larutan induk Cu 100 ppm dipipet 5, 10, 15, 20 dan 25 mL ke dalam labu ukur 50 mL, kemudian diencerkan dengan *waterone* hingga tanda batas.

6. Absorpsi Ion Logam Cu dan Fe (Nurfilah, 2013: 40)

Hidrogel ditimbang sebanyak 20 mg, kemudian direndam dalam 20 mL larutan logam Cu selama 120 menit dengan konsentrasi 24,5903 ppm dan larutan logam Fe selama 80 dengan konsentrasi 23,5344 ppm sambil dikocok dengan kecepatan 150 rpm, larutan disaring. Residu yang dihasilkan diuji dengan FTIR dan filtrat yang dihasilkan di ukur dengan SSA sebagai konsentrasi akhir logam dalam larutan.

Perhitungan:

$$\varepsilon (\%) = \frac{(C_0 - C_1)}{C_0} \times 100\%$$

Keterangan:

ε = efisiensi penyerapan (%)

C_0 = konsentrasi awal logam (mg/L)

C_1 = konsentrasi akhir logam (mg/L)



BAB IV HASIL DAN PEMBAHASAN

A. Hasil Penelitian

1. Selulosa Sabut Kelapa (*Cocos Nucifera L.*)

Selulosa yang dihasilkan dari sabut kelapa pada Gambar 4.1 berwarna abu-abu kehitaman dan tidak berbau. Sabut kelapa sebanyak 20 gram terdapat 6,7712 gram selulosa atau sekitar 33,86%.



Gambar 4.1 Selulosa Sabut Kelapa

2. Hidrogel Sabut Kelapa (*Cocos Nucifera L.*)

Hidrogel berhasil dibuat pada Gambar 4.2 dengan penambahan kitosan, CH_3COOH dan EDTA dengan variasi 0,10; 0,125 dan 0,150 gram dengan proses pembekuan pada suhu -20°C selama 18 jam dan pelelehan pada suhu ruang selama 6 jam dilakukan dalam 4 siklus.



Gambar 4.2 Hidrogel Sabut Kelapa

3. Sediaan Hidrogel

a. Organoleptik

Hidrogel yang dihasilkan pada penambahan EDTA 0,100; 0,125 dan 0,150 menghasilkan karakteristik organoleptik yang spesifik pada Tabel 4.1

Tabel 4.1 Hasil Organoleptik

Penambahan EDTA (gram)	Bentuk	Elastisitas	Tekstur
0,100	Padat	Elastis	Kurang halus
0,125	Padat	Sangat Elastis	Kurang halus
0,150	Padat	Rapuh	Kurang halus

Pada Tabel 4.1 menunjukkan hasil uji organoleptik dengan pengamatan bentuk, elastisitas dan tekstur, diperoleh hasil pada penambahan EDTA 0,100 dan 0,125 menghasilkan karakteristik elastis sedangkan penambahan EDTA 0,150 gram menghasilkan karakteristik rapuh.

b. Rasio Swelling

Hasil pembuatan hidrogel pada penambahan EDTA 0,100; 0,125 dan 0,150 dilakukan uji rasio *swelling*, hasil perhitungan pada uji rasio *swelling* ditunjukkan pada Tabel 4.2

Tabel 4.2 Hasil Rasio *Swelling*

Penambahan EDTA (gr)	Hidrogel Setelah Perendaman (W_1) (gr)	Hidrogel Sebelum Perendaman (W_0) (gr)	Rasio <i>Swelling</i>
0,100	7,8303	2,0000	291,515%
0,125	10,8849	2,0000	444,245%
0,150	7,3955	2,0000	269,775%

Pada Tabel 4.2 menunjukkan hasil uji rasio *swelling* oleh hidrogel dengan variasi pengikat silang 0,100; 0,125 dan 0,150 diperoleh nilai tertinggi yaitu pada penambahan 0,125 gram EDTA sebesar 444,245% dan nilai terendah pada penambahan 0,150 gram EDTA yaitu 269,775%.

c. Fraksi Gel

Hasil pembuatan hidrogel pada penambahan EDTA 0,100; 0,125 dan 0,150 dilakukan uji fraksi gel, hasil perhitungan pada uji fraksi gel ditunjukkan pada Tabel 4.3

Tabel 4.3 Hasil Fraksi Gel

Penambahan EDTA (gr)	Bobot Akhir (W_1) (gr)	Bobot Awal (W_0) (gr)	Fraksi Gel
0,100	2,6035	2,0000	130,175%
0,125	5,6404	2,0000	282,02 %
0,150	3,4893	2,0000	174,465%

Pada Tabel 4.3 menunjukkan hasil uji fraksi gel oleh hidrogel dengan variasi pengikat silang 0,100; 0,125 dan 0,150 diperoleh nilai tertinggi yaitu pada penambahan 0,125 gram EDTA sebesar 282,02% dan nilai terendah pada penambahan 0,100 gram EDTA yaitu 130,175%.

d. Spektrum Hidrogel

Karakterisasi menggunakan FTIR dilakukan pada hidrogel dan hidrogel telah direndam logam Cu dan Fe, karakterisasi tersebut bertujuan untuk mengetahui gugus fungsi serta untuk mengetahui reaksi yang terjadi pada proses pengikatan silang pada Tabel 4.4

Tabel 4.4 Hasil Spektrum Hidrogel Sebelum dan Setelah Absorpsi

Gugus Fungsi	Rentang Serapan (cm^{-1})	Serapan (cm^{-1})		
		Hidrogel	Hidrogel Absorpsi Cu	Hidrogel Absorpsi Fe
Regangan N-H dan gugus O-H	3650-3200	3252,84	3353,96	3358,19
C-H alifatik	2970-2850	2921,86	-	-
Tekukan N-H	1640-1550	1405,82	1633,17	1634,81
C-O	1300-1050	1065,75	1072,96	1073,71
C-N	1360-1180	1257,06	1153,00	1154,16

Sumber: Silverstein, dkk., 2005

4. Absorpsi Ion Logam Cu dan Fe

Absorpsi ion logam Cu dan Fe dengan menggunakan hidrogel yang diukur absorbansinya menggunakan spektrofotometer serapan atom (SSA), hasil perhitungan efisiensi penyerapan ion logam pada Tabel 4.5

Tabel 4.5 Efisiensi Penyerapan Hidrogel Pada Ion Logam Cu dan Fe

Penambahan EDTA (gr)	Efisiensi Penyerapan (%)	
	Ion Logam Cu	Ion Logam Fe
0,100	4,6054	9,6556
0,125	13,8656	16,1172
0,150	11,073	13,1866

Pada table 4.5 menunjukkan efisiensi penyerapan tertinggi logam Cu dan Fe yang terabsorpsi yaitu pada hidrogel penambahan EDTA 0,125 yaitu sebesar 13,8656% pada logam Cu dan 16,1172% pada Logam Fe.

B. Pembahasan

1. Selulosa Sabut Kelapa (*Cocos Nucifera L.*)

Ekstraksi selulosa dari sabut kelapa dimulai dari pencucian dengan air mengalir bertujuan untuk menghilangkan kotoran pada sabut kelapa. Sabut kelapa yang bersih dijemur di bawah sinar matahari hingga kering agar menghilangkan kadar air setelah pencucian. Sampel yang sudah dikeringkan, dilakukan penghalusan menggunakan blender agar mempermudah proses ekstraksi. Setelah itu dilakukan pengayakan menggunakan *sieve shaker* dengan ayakan 40 mesh bertujuan untuk memisahkan partikel kasar dan halus pada sampel.

Ekstraksi selulosa sabut kelapa terjadi proses hidrolisis secara basa dengan menggunakan NaOH yang bertujuan untuk menghasilkan selulosa dan menghilangkan lignin pada sabut kelapa. Perendaman dengan NaOH dan pemanasan pada serbuk sabut kelapa berfungsi untuk mempercepat proses delignifikasi, terjadi

perubahan warna menjadi warna hitam, yang menandakan terlarutnya senyawa lignin dan hemiselulosa. Kemudian, pencucian dengan akuades dilakukan untuk menetralkan pH residu selulosa.

Pada proses delignifikasi, lignin bereaksi dengan larutan NaOH yang terdisosiasi menjadi Na^+ dan OH^- . Ion OH^- bereaksi dengan gugus H pada lignin kemudian membentuk H_2O . Hal ini menyebabkan gugus O membentuk radikal bebas dan reaktif dengan C membentuk cincin epoksi (C-O-C), sehingga menyebabkan serangkaian gugus melepaskan ikatan pada gugus O. Reaksi menghasilkan dua cincin benzene yang terpisah, dimana masing-masing cincin memiliki gugus O yang reaktif. Gugus O reaktif ini bereaksi dengan Na^+ dan ikut larut dalam larutan basa sehingga lignin hilang apabila dibilas dengan air (Darojati, dkk., 2019: 88).

Penambahan NaOCl dan CH_3COOH untuk memutihkan (*bleaching*) residu selulosa sabut kelapa. Perubahan warna terjadi pada saat proses pemutihan menjadi lebih terang, hal ini dikarenakan terlarutnya lignin oleh ion hipoklorit. Proses pemutihan residu adalah proses perusakan (degradasi) sisa lignin yang masih tersisa yang terdapat dalam residu dengan penambahan bahan kimia seperti NaOCl untuk merubah warna dan memberikan kecerahan yang lebih tinggi pada residu (Pratiwi, dkk., 2016: 87).

Pencucian dengan akuades dilakukan untuk menetralkan pH residu selulosa. Pengeringan residu bertujuan agar selulosa yang didapatkan benar-benar kering dan juga dapat mengurangi kadar air sebelum digunakan. Semakin sedikit kadar air pada selulosa maka digunakan sebagai absorben (Harahap dan Pradifta, 2019: 4). Penelitian yang dilakukan oleh Rusdin (2020: 26-27) dalam sintesis CMC dari pelepah lontar bahwa dalam proses delignifikasi dalam ekstraksi selulosa yang menggunakan pelarut NaOH yang akan menghasilkan warna hitam pekat dan pada

proses pemutihan menggunakan NaOCl terjadi perubahan warna menjadi putih keabuan atau lebih terang.

Selulosa yang dihasilkan yaitu sebanyak 33,86% dari 20 gram sabut kelapa kering. Penelitian yang dilakukan oleh Darojati, dkk (2019: 88) menyebutkan kandungan selulosa dari sabut kelapa sekitar 26,60% - 43,44%. Ada beberapa faktor yang mempengaruhi keberhasilan hidrolisis selulosa yaitu konsentrasi pelarut, suhu, waktu, banyaknya sampel dan waktu pengadukan (Paskawati, dkk., 2017: 16).

2. Hidrogel Sabut Kelapa (*Cocos Nucifera* L.)

Pembuatan hidrogel dengan sampel sabut kelapa sebagai polimer utama/ primer atau bahan dasar hidrogel, kitosan sebagai polimer sekunder dan juga berfungsi untuk mengeraskan hidrogel, meningkatkan daya serap hidrogel serta meningkatkan penampilan hidrogel. Penambahan kitosan juga berfungsi meningkatkan efisiensi penyerapan pada hidrogel (Erizal, dkk., 2011: 172). CH_3COOH berfungsi untuk melarutkan kitosan dan penambahan EDTA sebagai pengikat silang secara kimia yang berfungsi sebagai penghubung antar polimer, keunggulan EDTA sebagai pengikat silang lebih murah dan tidak beracun dibandingkan dengan pengikat silang lainnya (Ritonga, dkk., 2019: 2). Pembekuan dan pelelehan sebagai pengikat silang secara fisika, ikatan silang dapat terbentuk akibat adanya perubahan suhu ekstrim yang pada polimer. kandungan air yang membeku di dalam hidrogel mengalami sublimasi dari fasa padat menjadi gas. Keadaan ini akan menimbulkan gaya minimum pada dinding pori hidrogel sehingga strukturnya tidak hancur. Cara ini dapat dihasilkan hidrogel yang ringan dan memiliki banyak pori (Gustinenda dan Margo, 2017: 21).

Penggunaan dua metode pengikat silang yaitu secara fisika dan kimia dalam penelitian ini bertujuan agar meningkatkan daya ikatan silang pada hidrogel yang

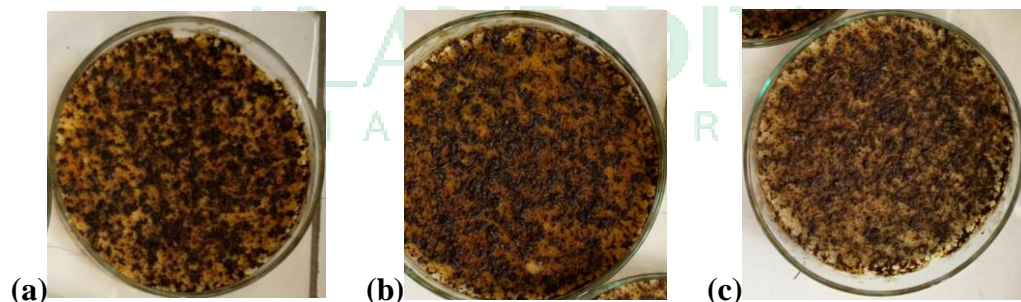
jika hanya digunakan satu metode saja hidrogel yang dihasilkan kurang maksimal. Misalnya teknik beku leleh, proses ini tidak membutuhkan katalisator dan inisiator dalam proses pembentukan ikatan silang. Namun menghasilkan sifat fisik yang kurang maksimal, hal ini dikarenakan ikatan silang yang terbentuk hanya secara fisika dalam struktur hidrogel (Erizal, dkk., 2012: 16). Oleh karena itu dilakukan lagi pengikatan silang secara kimia untuk meningkatkan derajat silang pada hidrogel.

Penelitian yang dilakukan oleh Sari, dkk (2015: 505), membuat hidrogel dengan menggunakan dua metode pengikat silang yaitu secara kimia dan fisika. Pengikat silang secara kimia dengan penambahan natrium alginat dan pengikat silang secara fisika menggunakan teknik beku leleh dengan 3 siklus. Hidrogel yang dihasilkan memiliki daya elastisitas tinggi dan mampu diperpanjang hingga lima atau enam kali dari panjang asalnya.

3. Sediaan Hidrogel

a. Organoleptik

Uji organoleptik menunjukkan pengamatan bentuk, elastisitas dan tekstur pada hidrogel yang telah dibuat.



Gambar 4.3 Hidrogel dengan Penambahan EDTA (a) 0,100 (b) 0,125 dan (c) 0,15

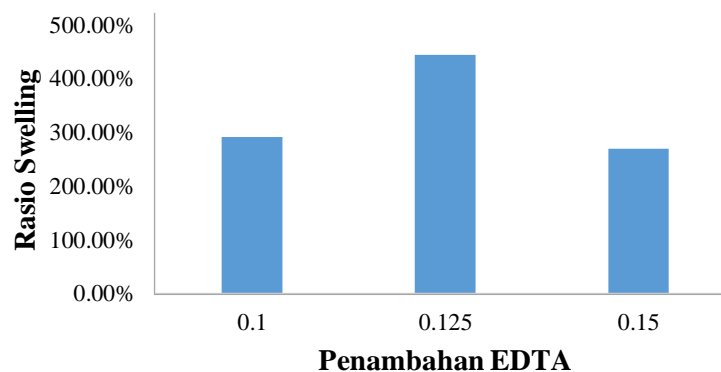
Berdasarkan hasil pada Tabel 4.1 menunjukkan hidrogel pada setiap penambahan EDTA memiliki bentuk padat dan kurang halus. Perbedaan dari ketiga hidrogel tersebut yaitu pada elastisitasnya. Hidrogel dengan penambahan EDTA

0,100 dan 0,125 gram memiliki elastisitas dapat memenuhi spesifikasi. Penelitian yang dilakukan oleh Rahayuningdyah, dkk (2020: 119) memperoleh hidrogel yang elastis dengan berbagai variasi penambahan pengikat silang. Hal ini juga didapatkan pada penelitian Gunawan dan Lestari (2020: 14) bahwa hidrogel memiliki bentuk yang padat dan elastis.

Hidrogel dengan penambahan EDTA 0,150 gram memiliki elastisitas yang kurang bagus seperti mudah rapuh. Hal ini dibenarkan dalam Astrini, dkk (2010: 51-52) bahwa dengan meningkatnya jumlah pengikat silang akan menurunkan elastisitas pada hidrogel. Penelitian yang dilakukan oleh Thinkohkaew, dkk (2020: 6608), dalam membuat hidrogel dari sabut kelapa dengan variasi konsentrasi natrium tetraborat 10%, 20% dan 30% sebagai pengikat silang menghasilkan hidrogel kurang elastis seiring bertambahnya konsentrasi pengikat silangnya.

b. Rasio Swelling

Rasio *swelling* menunjukkan kemampuan hidrogel dalam menyerap air berdasarkan perbedaan jumlah pengikat silangnya.



Gambar 4.4 Hubungan Variasi EDTA dengan Rasio *Swelling* Hidrogel

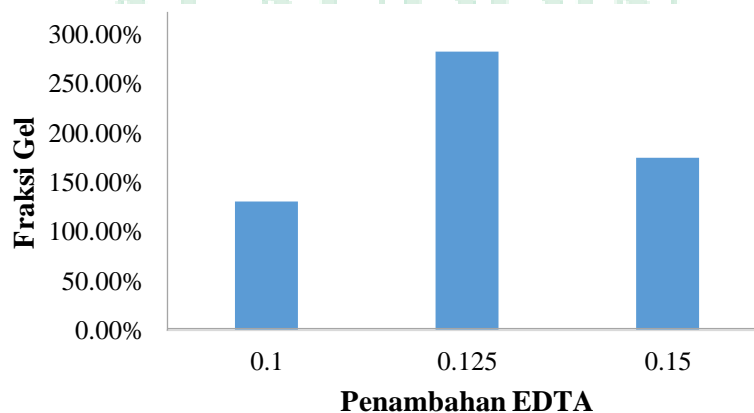
Hasil rasio *swelling* (Gambar 4.4) yang diperoleh tertinggi pada penambahan EDTA 0,125 gram sebesar 444,245% dan terendah pada penambahan EDTA 0,150 sebesar 269,775%. Penelitian yang dilakukan Ritonga, dkk (2019: 3) semakin

banyak penambahan EDTA sebagai pengikat silang pada pembuatan hidrogel maka semakin menurunnya penyerapan dalam air. Besar kecilnya hidrogel yang membengkak dipengaruhi oleh interaksi ionik antara gugus ikatan silang dan kepadatan ikatan ikatan silang. Hal ini juga dijelaskan dalam Erizal, dkk (2017: 35) bahwa meningkatnya jumlah pengikat silang tidak dapat meningkatkan penyerapan air pada hidrogel. Hal ini mungkin disebabkan oleh pengikat silang dengan berat molekul yang besar menyebabkan matriks hidrogel menjadi padat, sehingga daya difusi air akan berkurang.

Hasil yang diperoleh, hidrogel yang baik dalam penyerapan air yaitu pada penambahan EDTA 0,125 gram sebesar 444,245% karena pada kondisi ini berada pada bentuk yang optimum yaitu elastis, tidak kaku dan tidak mudah rapuh. Hal ini juga dijelaskan dalam Astrini, dkk (2010: 51-52) bahwa kecenderungan menurunnya penyerapan air dengan meningkatnya jumlah pengikat silang sehingga akan menaikkan densitas ikatan silang dan mengakibatkan penurunan elastisitas ikatan.

c. Fraksi Gel

Fraksi gel menunjukkan pengukuran derajat silang berdasarkan perbedaan jumlah pengikat silangnya

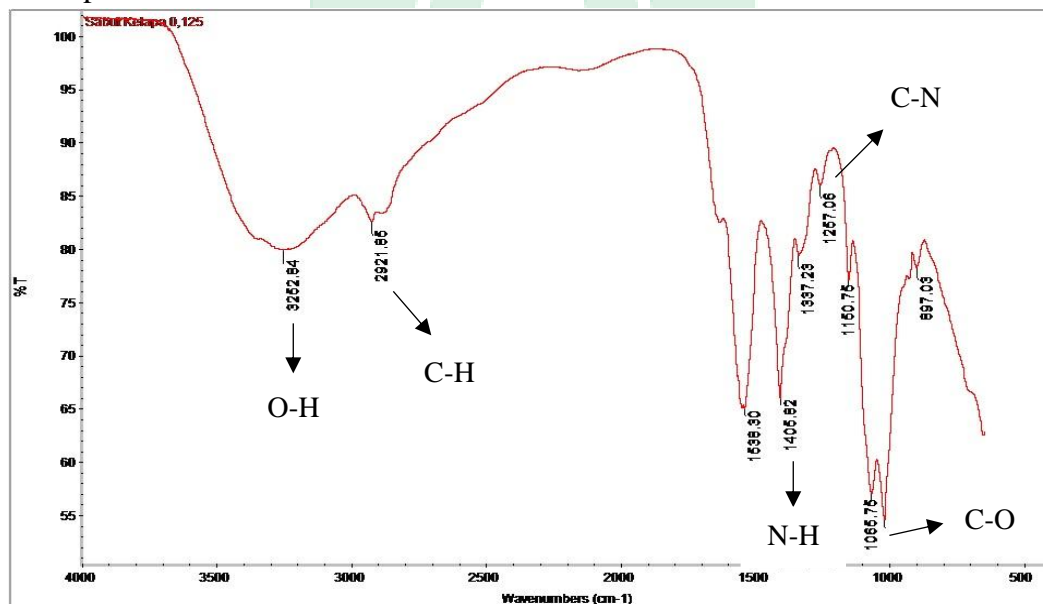


Gambar 4.5 Hubungan Variasi EDTA dengan Fraksi Gel Hidrogel

Hasil fraksi gel yang diperoleh tertinggi pada penambahan EDTA 0,125 gram sebesar 282,02% dan terendah pada penambahan EDTA 0,100 gram sebesar 130,175%. Penelitian yang dilakukan Ritonga, dkk (2019: 3) semakin banyak penambahan EDTA sebagai pengikat silang pada pembuatan hidrogel maka nilai fraksi gelnya semakin naik. Fraksi gel meningkat seiring dengan meningkatnya jumlah pengikat silang, namun dalam beberapa kasus fraksi gel menurun setelah mencapai maksimal. Fraksi gel optimum dipengaruhi oleh berat molekul dan konsentrasi gel. Kemungkinan adanya pembentukan gel yang tidak sempurna sehingga hidrogel dengan penambahan EDTA 0,150 gram nilainya paling rendah, gel yang tidak terbentuk kemudian larut dalam air (Fransiska dan Reynaldi, 2019: 32).

d. Spektrum Hidrogel

Karakterisasi menggunakan FTIR berfungsi untuk mengetahui gugus fungsi yang terdapat pada hidrogel dan hidrogel telah direndam logam Cu dan Fe yang terlihat pada Gambar 4.6.

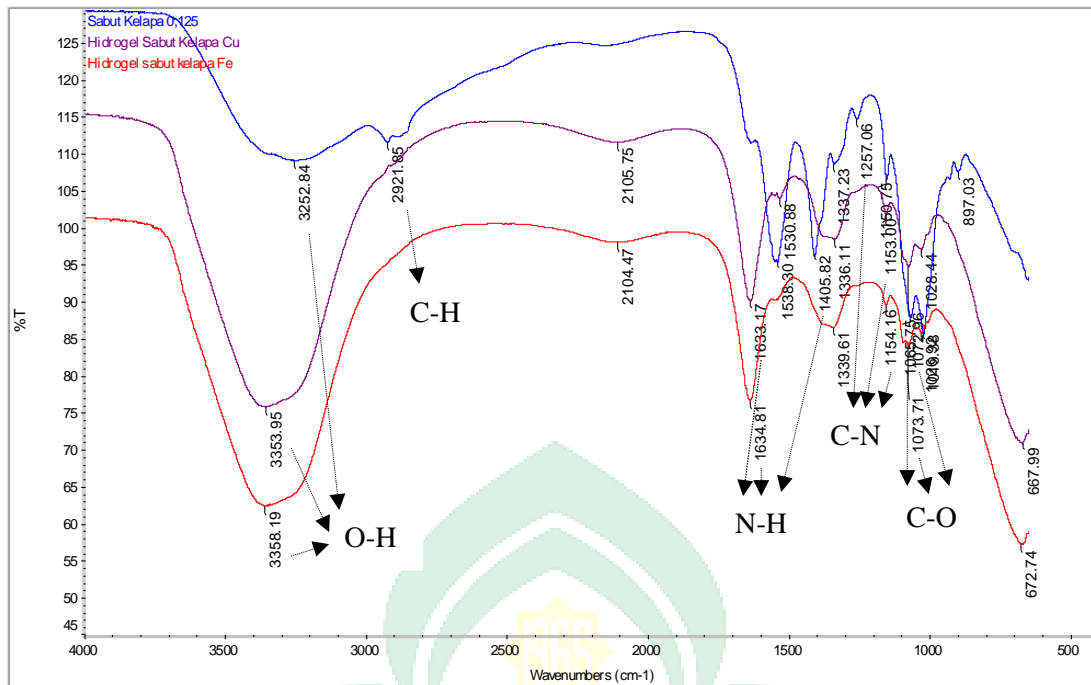


Gambar 4.6 Spektrum FTIR Hidrogel Selulosa Sabut Kelapa

Spektrum dari hidrogel sabut kelapa pada rentang serapan 4000-500 cm^{-1} dapat dilihat pada Gambar 4.6. Hasil karakterisasi FTIR hidrogel sabut kelapa terlihat puncak pada bilangan gelombang 3252,84 cm^{-1} menunjukkan adanya gugus O-H dan pada bilangan gelombang 2921,86 cm^{-1} adanya gugus C-H, pada daerah 1065,75 cm^{-1} adanya gugus C-O, dimana gugus fungsi ini adalah penyusun selulosa, hal ini disebutkan dalam Paskawati, dkk, (2017: 13) bahwa gugus fungsi dalam selulosa yaitu gugus O-H, gugus C-H dan C-O.

Bilangan gelombang 3252,84 cm^{-1} termasuk serapan O-H yang melebar yang menyebabkan serapan gugus N-H yang seharusnya muncul di daerah 3300-3000 cm^{-1} yang berupa daerah spektrum yang khas karena tumpang tindih dengan serapan O-H menjadi tertutup. Namun adanya serapan tekukan N-H masih dapat terdeteksi pada serapan 1405,82 cm^{-1} , hal ini sesuai pada penelitian Pramesti (2012: 59) bahwa serapan gugus N-H tidak terdeteksi pada daerah 3300-3000 cm^{-1} akibat adanya ikatan hidrogen antar molekul uji tapi terdeteksi pada serapan 1641,13 cm^{-1} .

Pada Bilangan gelombang 1257,06 cm^{-1} adanya gugus C-N, dimana gugus fungsi ini adalah penyusun kitosan, hal ini sesuai dengan penelitian Ritonga, dkk., (2019: 3), bahwa spektrum FTIR pada kitosan didapatkan yaitu N-H bilangan gelombang 1654,92 cm^{-1} yang merupakan ciri khas dari kitosan. Adanya juga gugus C-O dan N-H yang diduga berasal dari EDTA sebagai pengikat silang, hal ini disebutkan dalam Ritonga, dkk., (2019: 3) bahwa adanya gugus C-O pada bilangan gelombang 1151,50 cm^{-1} dan N-H pada bilangan gelombang 1587,42 cm^{-1} terdeteksi dalam karakterisasi FTIR pada EDTA.



Gambar 4.7 Spektrum FTIR Hidrogel (biru), Hidrogel Absorpsi Cu (ungu) dan Hidrogel Absorpsi Fe (merah)

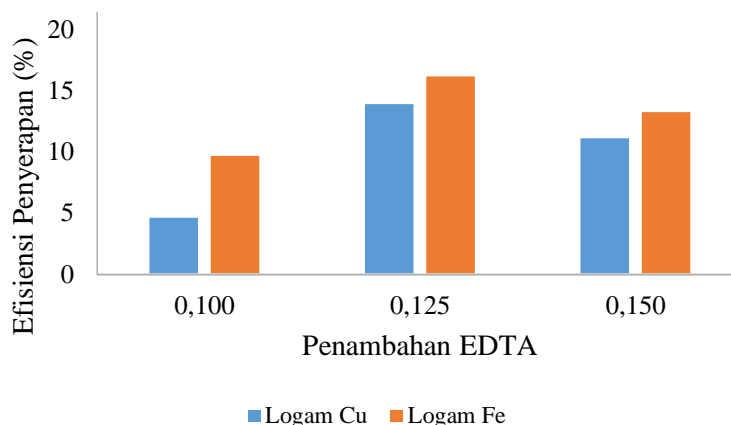
Spektrum dari hidrogel setelah absorpsi ion logam Cu dan Fe pada rentang serapan $4000\text{-}500\text{ cm}^{-1}$ dapat dilihat pada Gambar 4.7. Perubahan yang terjadi pada spektrum serapan C-H dari $2921,86$ hingga serapannya tidak terdeteksi, hal ini memungkinkan meningkatnya jumlah ikatan hidrogen yang terikat antar molekul yang menyebabkan serapan O-H bergeser dari bilangan gelombang $3252,84\text{ cm}^{-1}$ ke $3353,96\text{ cm}^{-1}$ untuk absorpsi ion Cu dan $3358,19\text{ cm}^{-1}$ untuk absorpsi ion Fe yang mengalami peningkatan intensitas. Semakin tinggi nilai serapan maka semakin banyak ikatan hidrogen yang terbentuk, sebaliknya semakin rendah nilai serapan maka ikatan hidrogen yang terbentuk semakin sedikit (Tur-Ridha, 2019: 30).

Perubahan yang terjadi juga pada spektrum serapan O-H tumpang tindih N-H pada serapan $3353,96\text{ cm}^{-1}$ untuk absorpsi ion Cu dan $3358,19\text{ cm}^{-1}$ untuk absorpsi ion Fe dari $3252,84\text{ cm}^{-1}$ dan serapan O-H mengalami peningkatan intensitas. Perubahan bentuk serapan O-H tumpang tindih N-H ini diindikasikan karena adanya

interaksi antara gugus O-H maupun N-H dengan ion logam Cu membentuk suatu ikatan (Purnawan, dkk., 2018:346). Ada beberapa sebab absorpsi ion logam Fe oleh hidrogel, diantaranya yaitu terjadi interaksi elektrostatik, interaksi antara muatan parsial negatif dari gugus amina ($-NH_2$) dan hidroksil ($-OH$) pada kitosan dalam hidrogel dengan muatan parsial positif dari logam Fe^{3+} (Pramesti, dkk., 2012: 73).

4. Absorpsi ion Logam Cu dan Fe

Absorpsi ion logam Cu dan Fe menunjukkan penyerapan ion logam oleh hidrogel berdasarkan perbedaan jumlah pengikat silangnya



Gambar 4.8 Hubungan Variasi EDTA dengan Efisiensi Penyerapan Ion Logam

Berdasarkan hasil penelitian yang telah dilakukan pada Gambar 4.9 dapat dilihat bahwa kemampuan hidrogel dalam absorpsi ion logam Cu dan diperoleh tertinggi pada penambahan EDTA 0,125 pada ion logam Cu dan Fe berturut-turut 13,865% dan 16,1172% dan terendah pada penambahan EDTA 0,100 pada ion logam Cu dan Fe sebesar 4,6054% dan 9,6556%.

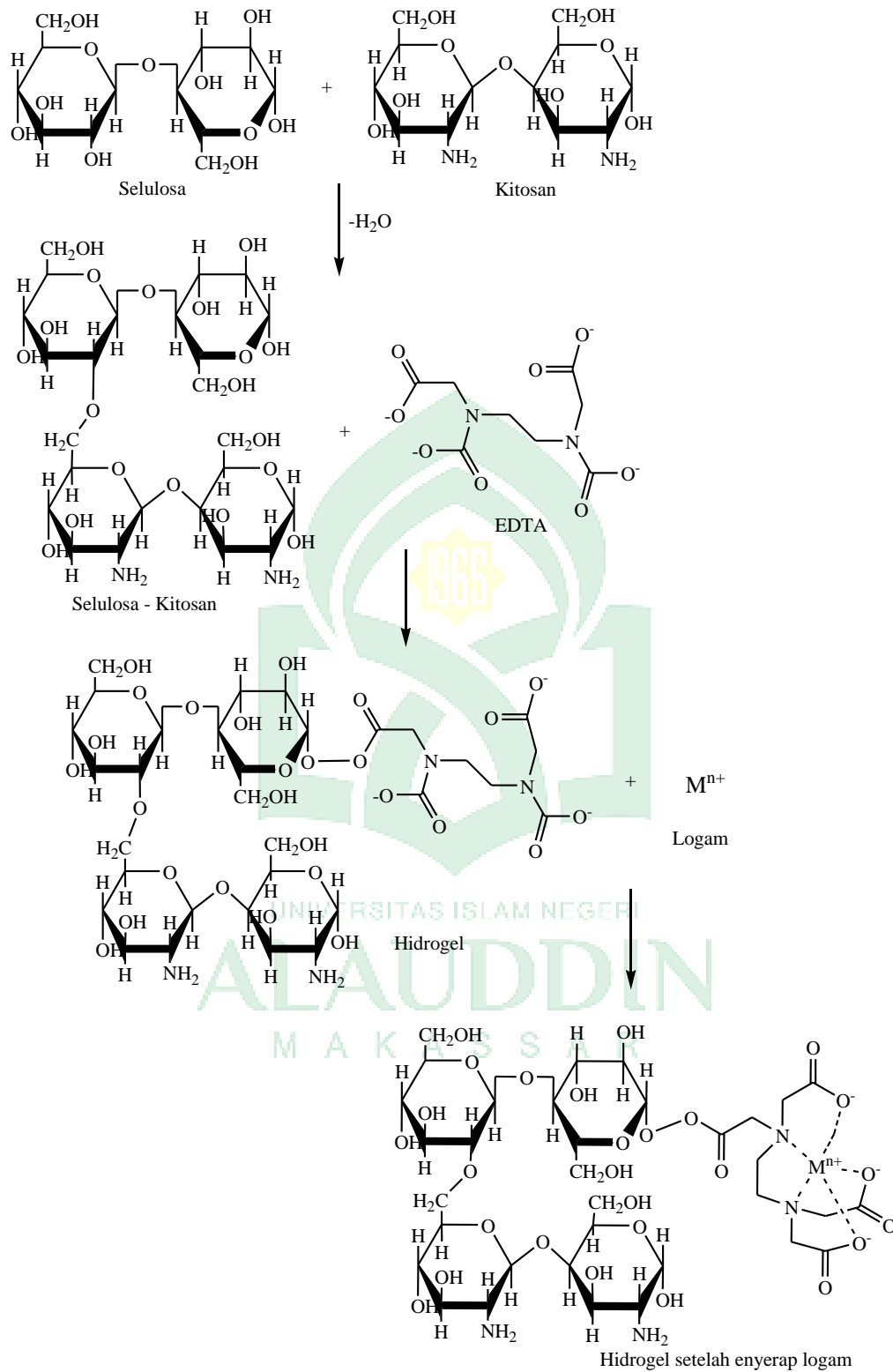
Absorpsi ion logam Cu dan Fe oleh hidrogel sabut kelapa mengalami peningkatan efisiensi penyerapan dari 4,6054% dan 9,6556% dengan penambahan EDTA 0,100 gram ke 13,865% dan 16,1172% dengan penambahan EDTA 0,125 dan mengalami penurunan efisiensi penyerapan dari 13,865% dan 16,1172% dengan

penambahan EDTA 0,125 ke 11,073% dan 13,1866% pada penambahan EDTA 0,150, hal ini diakibatkan hidrogel pada penambahan EDTA 0,125 gram dalam bentuk yang optimum dan rasio *swelling* yang optimum.

Berdasarkan hasil yang diperoleh efisiensi penyerapan hidrogel terhadap ion logam Fe lebih besar dibandingkan efisiensi penyerapan terhadap ion logam Cu. Hal ini disebabkan oleh jari-jari (radius) ion logam Fe sebesar 63 relatif lebih kecil dibandingkan jari-jari ion logam Cu sebesar 68, sehingga ion logam Fe akan lebih mudah masuk ke dalam pori-pori hidrogel dibandingkan ion logam Cu (Erizal, dkk., 2011: 172).

Perbedaan nilai efisiensi penyerapan antara ion logam Cu dan ion logam Fe juga dipengaruhi oleh perbedaan konfigurasi elektron. Pada ion logam Cu konfigurasi elektronnya yaitu $[Ar] 3d^9$ dan ion logam Fe yaitu $[Ar] 3d^5$, dari perbedaan konfigurasi elektron ini menyebabkan ion logam Fe memiliki orbital kosong yang lebih banyak dibandingkan ion logam Cu. Hal ini menyebabkan ion logam Fe mampu berikatan dengan gugus amina ($-NH_2$) pada kitosan semakin kuat (Pramesti, dkk., 2012: 74-75).

Reaksi yang terjadi pada penelitian (Gambar 4.9) ini dimulai dari reaksi selulosa sebagai polimer primer dan kitosan sebagai polimer sekunder. Reaksi diantara keduanya diawali oleh adanya interaksi Van der Waals atau ikatan hidrogen antara gugus $-OH$ kitosan dan gugus $-OH$ selulosa kemudian terjadi fiksasi antara kedua gugus tersebut. Reaksi selanjutnya yaitu selulosa-kitosan berikatan dengan gugus karboksilat pada EDTA dan mengaktifkan gugus $-OH$ pada hidrogel. Ketika dilakukan absorpsi terhadap ion logam Cu dan ion logam Fe, struktur aktif EDTA akan mengalami reaksi pembentukan senyawa kompleks dengan logam sebagai atom pusat yang dikelilingi oleh EDTA sebagai ligan (Irdhawati, dkk., 2020: 117).



Gambar 4.9 Reaksi Pembentukan Hidrogel dan Penyerapan Ion Logam

Sumber: Irdhawati, dkk., 2020: 11

BAB V

PENUTUP

A. Kesimpulan

Kesimpulan pada penelitian ini adalah sebagai berikut:

1. Karakteristik hidrogel selulosa sabut kelapa dengan FTIR menunjukkan adanya gugus N-H, O-H, C-H, C-O, dan C-N, sedangkan hidrogel setelah absorpsi ion logam Cu dan Fe terjadinya pergeseran pada serapan O-H dan serapan N-H serta tidak terdeteksi serapan C-H.
2. Kemampuan absorpsi ion logam Cu dan Fe oleh Hidrogel selulosa sabut kelapa yaitu pada penambahan EDTA 0,125 gram berturut-turut sebesar 13,865% dan 16,1172%.

B. Saran

Saran pada penelitian ini adalah sebaiknya mengukur waktu optimum pada penyerapan ion logam Cu dan Fe.

DAFTAR PUSTAKA

Al-Qur'anul Karim

- Adi, Setyono Hari. "Teknologi Nano Untuk Pertanian: Aplikasi Hidrogel Untuk Efisiensi Irigasi". *Sumber daya Lahan* 6 No.1 (2012): h. 1-16.
- Ahmed, Enas M. "Hydrogel: Preparation, characterization, and applications: A review". *Journal of Advanced Research* 6, no. 1 (2015): h. 105-121.
- Anggriana, Dwi. "Analsis Cemaran Logam Berat Timbal (Pb) dan Kadmium (Cd) pada Air Sumur Di Kawasan PT. Kima dengan Metode Spektrofotometer Serapan Atom (SSA)". *Skripsi*. Makassar: Fakultas Ilmu Kesehatan UIN Alauddin Makassar, 2011.
- Arba, Hikmah Nisa. "Identifikasi Logam Besi (Fe) pada Zonasi Radius 1-5 Km Tempat Pembuangan Akhir (Tpa) Antang Makassar terhadap Pengaruh Kualitas Air Sumur Gali". *Skripsi*. Makassar: Fakultas Sains dan Teknologi UIN Alauddin Makassar, 2017.
- Apriliani, Ade. "Pemanfaatan Arang Ampas Tebu Sebagai Adsorben Ion Logam Cd, Cr, Cu dan Pb dalam Air Limbah". *Skripsi*. Jakarta: Fakultas Sains dan Teknologi UIN Syarif Hidayatullah, 2010.
- Asriani. "Identifikasi Logam Tembaga (Cu) pada Zonasi Radius 1-5 Km Tempat Pembuangan Akhir (TPA) Antang Makassar terhadap Pengaruh Kualitas Air Sumur Gali". *Skripsi*. Makassar: Fakultas Sains dan Teknologi UIN Alauddin Makassar, 2017.
- Astrini Nuri, LikAnah dan Agus Haryono. "Pengaruh Penambahan Bentonit pada Superabsorben Polimer Komposit Hidrogel Berbasis Selulosa". *Jurnal Sains Materi Indonesia* 13, no. 1 (2010): h. 49-53.
- Astrini, Nuri, Lik Anah dan Agus Haryono. "Pengaruh Metilen Bisakrilamid (MBA) pada Pembuatan Superabsorben Hidrogel Berbasis Selulosa terhadap Sifat Penyerapan Air". *J Kimia Kemasan* 38, No. 1 (2016): h. 15-20.
- Badan penelitian dan Pengembangan Pertanian. *Prospek dan Arah Pengembangan Agribisnis Kelapa*. Jakarta: Kementerian Pertanian, 2005.
- Cahyaningrum, Putri Utha. "Daya Adsorpsi Adsorben Kulit Salak Termodifikasi Terhadap Ion Tembaga(Ii)". *Skripsi*. Yogyakarta: Fakultas Matematika dan Ilmu Pengetahuan Alam Universitas Negeri Yogyakarta, 2016.
- Costa, Madalena Da. "Studi Penurunan Kadar Logam Kromium (Cr) dalam Limbah Buatan Elektroplating menggunakan Metode Presipitasi dan Adsorpsi". *Skripsi*. Surabaya: Fakultas Teknik Sipil, Lingkungan Dan Kebumian Institut Teknologi Sepuluh Nopember, 2019.
- Darojati, Harum Azizah, Sugili Putra dan Fahril Putera Zulprasetya. "Pengaruh Iradiasi Gamma pada Konversi Biomassa Lignoselulosa Sabut Kelapa Menjadi Bioetanol". *Jurnal Teknik Kimia Lingkungan* 3, no.2 (2019): h. 87-94.

- Darwis, Darmawan dan Lely Hardiningsih. "Potensi Hidrogel Polivinil Pirolidon (PVP)-Pati Hasil Iradiasi Gamma Sebagai Plester Penurun Demam". *Jurnal Ilmiah Aplikasi Isotop dan Radiasi* 6, No. 1 (2010): h. 46-57.
- Erizal, Darmawan, Basril A dan Sudirman. "Pengaruh Teknik Beku Leleh dan Dosis Iradiasi Gamma pada Pelepasan Resorsinol dari Matriks Hidrogel Polivinilalkohol". *Jurnal Sains Materi Indonesia* 1, no. 1 (2012): h. 15 – 21.
- Erizal, Marisa Lana, R. Setyo A.K dan Basril Abbas. "Sintesis dan Karakterisasi Hidrogel Superabsorben Berbasis Asam Akrilat Hasil Iradiasi Gamma". *Jurnal Ilmiah Aplikasi Isotop dan Radiasi* 11, No. 1 (2015): h. 27-37.
- Erizal, ZainalAbidin, Deswita dan Sudirman. "Superabsorben Poli(Akrilamida-Ko-Asam Akrilat)-Kitosan Hasil Iradiasi Gamma Untuk Adsorpsi Ion Logam Cu^{2+} Dan Fe^{3+} ". *Jurnal Sains Materi Indonesia* 12, No. 3 (2011): h. 168 – 174.
- Fransiska, Dina dan Ahmad Reynaldi. "Karakteristik Hidrogel Dari Iota Karaginan Dan Pva (Poly-Vinyl Alcohol) dengan Metode *Freezing-Thawing Cycle*". *Jambura Fish Processing Journal* 1, No.1 (2019): 24-34.
- Gultom, Erika Mulyana dan M Turmuzi Lubis. "Aplikasi Karbon Aktif dari Cangkang Kelapa Sawit dengan Aktivator H_3PO_4 Untuk Penyerapan Logam Berat Cd dan Pb". *Teknik Kimia USU* 3, no. 1 (2014): h. 5-10.
- Gunawan Muhammad dan Nanda Lestari. "Pembuatan Hidrogel Berbasis Mikrokristal Selulosa Daun Nanas (*Ananas comosus* L. Merr) dengan Variasi Volume Glutaraldehyd". *Jurnal Indah Sains & Klinis* 1, no. 1 (2020): h. 12-17.
- Gustinenda, Beta Yogaswara dan Kautsar Cakrawala Margo. "Sintesis Superabsorben Aerogel Selulosa Berbasis Sabut Kelapa". *Skripsi*. Surabaya: Fakultas Teknologi Industri Institut Teknologi Sepuluh Nopember, 2017.
- Harahap Aulia Muliana dan Ika Ucha Pradifta. "Pengaruh Variasi Waktu Ekstraksi α -Selulosa dari Pelelepah Kelapa Sawit sebagai Bahan Baku Pembuatan Mikrokristalin α -Selulosa". *Jurnal Agro Fabrica* 1, no. 1 (2019): h. 1-8.
- Herlandien, Yola Lyliana. "Pemanfaatan Arang Aktif sebagai Absorban Logam Berat dalam Air Lindi Di Tpa Pakusari Jember". *Skripsi*. Jember: Fakultas Matematika Dan Ilmu Pengetahuan Alam Universitas Jember, 2013.
- Hidayat, Taufik, Fadhilah dan Edi Nasra. "Penentuan Kadar Perak (Ag) dalam Batuan Termineralisasi menggunakan Metode Ekstraksi Pelarut Kelat Ditizon dengan Variasi pH dan Waktu di Wilayah Tambang Galian Rakyat Bukit Gunjo Jorong Tanjung Bungo Kec. Bonjol Kab. Pasaman". *Jurnal Geologi* 1, no. 1 (2014): h. 1-12.
- Irdhawati, Ni Nyoman Triyunita Sinthadevi dan Emmy Sahara. "Serbuk Gergaji Kayu Jati Teraktivasi Edta Sebagai Penjerap Ion Tembaga (II) Dan Krom (III)". *Indo. J. Chem. Res* 7, no. 2 (2020): h. 114-119.
- Kementrian Agama RI. *Al-Qur'an dan Terjemahnya*. Surabaya: Halim Publishing & Distributing, 2013.

- Mahinroosta, Mostafa, Zohreh Jomeh Farsangi, Ali Allahverdi dan Zahra Shakoori. "Hydrogels as intelligent materials: A brief review of synthesis, properties and applications". *Materials Today Chemistry* 8, no. 2 (2018): h. 42-55.
- Manuhutu, Octaviana. "Penetapan Kadar Lidokain HCl dalam Sediaan Injeksi Secara Spektrofotometer Serapan Atom Tidak Langsung". *Skripsi*. Yogyakarta: Fakultas Farmasi Universitas Sanata Dharma, 2009.
- Mardin, Andi Ima Kusmawati. "Analisis Kadar Merkuri (Hg) pada Sediaan Krim Pemutih yang Beredar Di pasaran Kota Makassar dengan Menggunakan Metode Spektrofotometer Serapan Atom". *Skripsi*. Makassar: Fakultas Ilmu Kesehatan UIN Alauddin Makassar, 2012.
- Nurdilah, Erva. "Studi Awal Hidrogel Poliakrilamida-co-Kitosan sebagai Penyerap Ion Logam Cr, Co, Ni, Cu, Zn dan Pb". *Skripsi*. Jakarta: Fakultas Sains dan Teknologi UIN Syarif Hidayatullah, 2013.
- Nurliza. "Pemanfaatan Limbah Ampas Tebu (*Saccharum Officinarum*) sebagai Bioadsorben Penyerap Logam Besi (II) pada Air Sumur Di Desa Baet Kabupaten Aceh Besar". *Skripsi*. Banda Aceh: Fakultas Sains Dan Teknologi Universitas Islam Negeri Ar-Raniry, 2020.
- Pambudi, Aji, Moh Farid dan Haniffudin Nurdiansah. "Analisis Morfologi dan Spektroskopi Infra Merah Serat Bambu Betung (*Dendrocalamus Asper*) Hasil Proses Alkalisasi Sebagai Penguat Komposit Absorpsi Suara" *Teknik Its* 6, no. 2 (2017): h. 441-444.
- Paskawati, Yessica Arini, Susyana, Antaresti dan Ery Susiany Retnoningtyas. "Pemanfaatan Sabut Kelapa Sebagai Bahan Baku Pembuatan Kertas Komposit Alternatif". *Widya Teknik* 9, no. 1 (2017): h. 12-21.
- Pramesti Arindha Reni. "*Absorbent Dressing Sponge* Berbasis Alginat-Kitosan Berkurkumin Untuk Luka Derajat Eksudat Sedang-Besar". *Skripsi*. Surabaya: Fakultas Sains dan Teknologi Universitas Airlangga, 2012.
- Pramesti Sintya Tunggal, Khabibi dan Nor Basid Adiwibawa Prasetya. "Pemanfaatan Kitosan Termodifikasi Asam Askorbat sebagai Adsorben Ion Logam Besi (III) dan Kromium (III)". *Jurnal Kimia Sains dan Aplikasi* 15, no. 2 (2012): h. 70-75.
- Pratiwi Rimadani, Driyanti Rahayu, Melisa I. Barliana. "Pemanfaatan Selulosa dari Limbah Jerami Padi (*Oryza sativa*) sebagai Bahan Bioplastik". *IJPST* 3, no. 3 (2016): h. 83-91.
- Pratiwi, Farah dan Pande Sutara. "Etnobotani Kelapa (*Cocos nucifera* L.) Di Wilayah Denpasar dan Bandung". *Simbiosis* 1, no. 2 (2013): h. 102-111.
- Purnawan Candra, Tri Martini dan Ima Puspita Rini. "Sintesis dan Karakterisasi Silika Abu Ampas Tebu Termodifikasi Arginin sebagai Adsorben Ion Logam Cu(II)". *ALCHEMY Jurnal Penelitian Kimia* 14, no. 2 (2018): h. 333-348.
- Purwanti. "Uji Efektivitas Karbon Aktif dari Tempurung Kelapa dan Cangkang Sawit Sebagai Adsorben Besi (Fe) pada Air Sumur Gali Di Desa Bakaran Batu Kecamatan Batang Kuis Kabupaten Deli Serdang". *Skripsi*. Medan: Fakultas Biologi Universitas Medan Area, 2016.

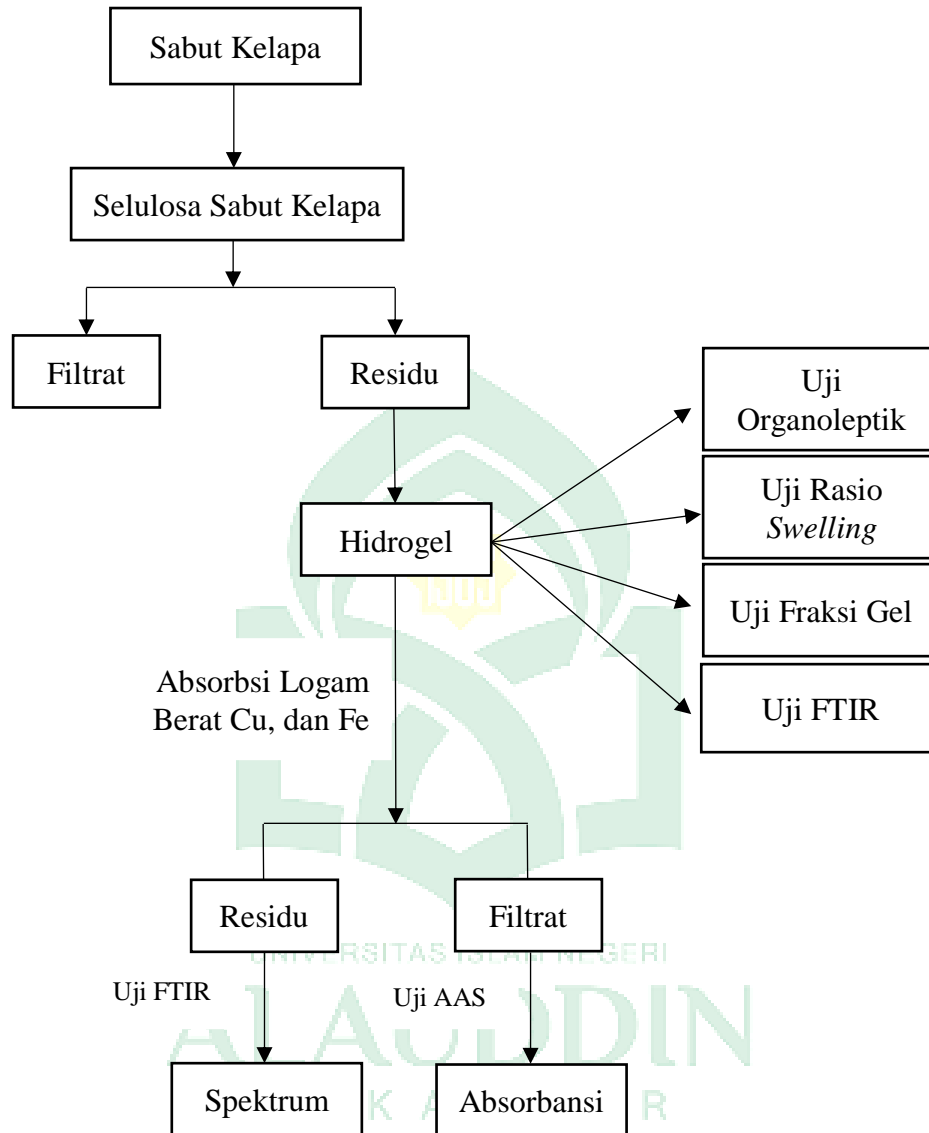
- Puspitasari, Tita, Dewi Sekar Pangerteni, Diah Tantri dan Sofina Sofyan. "Pengaruh Dosis Radiasi dan Konsentrasi Foaming Agent terhadap Sintesis dan Karakteristik Hidrogel Superabsorben Kopolimer Poliakrilamida-Sodium Karboksil Metil Selulosa". *Jurnal Sains Materi Indonesia* 12, No. 3 (2011): h. 162 – 167.
- Rafly, Widia Citra Anggundari dan Tun Tedja Irawadi. "Potensi Spektroskopi Ft-Ir-Atr dan Kemometrik Untuk Membedakan Rambut Babi, Kambing dan Sapi". *Chem Sci* 5, no. 3 (2016): h. 223-237.
- Rahayu, Lucia Hermawati, Sari Purnavita dan Herman Yoseph Sriyana. "Potensi Sabut dan Tempurung Kelapa Sebagai Adsorben Untuk Meregenerasi Minyak Jelantah". *Momentum* 10, no. 1 (2014): h. 47-53.
- Rahayuningdyah Dewi Wuragil, Diana Lyrawati, Ferri Widodo dan Oktavia Eka Puspita. "Pengembangan Formula Hidrogel Balutan Luka Menggunakan Kombinasi Polimer Galaktomanan dan PVP". *Pharmaceutical Journal Of Indonesia* 5, no. 2 (2020): h. 117-122.
- Rasyida, Amaliya, Thalyta Rizkha Pradipta dan Sigit Tri Wicaksono. "Studi Pengaruh Penambahan PVA dan Bentonit Terhadap Morfologi dan Sifat Fisik Komposit Berbasis Hidrogel Alginat sebagai Kandidat Material Perancah untuk Regenerasi Tulang Rawan". *TEKNIK ITS* 7, No. 2 (2018): 320-325.
- Ritonga, Halimahtussaddiyah, Anugrah Nurfadillah, Fransiskus S Rembon, N Ramadhan dan Muhammad Nurdin. "Preparation of Chitosan-EDTA hydrogel as soil conditioner for soybean plant (Glycine max)". *Groundwater for Sustainable Development* 9, no. 1 (2019): 1-8.
- Rudyardjo, Djony Izak. "Pengaruh Penambahan Plasticier Gliserol Terhadap Karakteristik Hidrogel Kitosan-Glutaraldehyd Untuk Aplikasi Penutup Luka". *Jurnal Ilmiah Sains* 14, No. 1 (2014): h. 18-28.
- Rusdin, Aisyah. "Sintesis Karboksimetil Selulosa (CMC) dari Selulosa Pelepah Lontar (*Borassus Flabellifer*) sebagai Flokulan". *Skripsi*. Makassar: Fakultas Sains dan Teknologi UIN Alauddin Makassar, 2020.
- Sari Fatty Ratna, Dina Mulyanti dan Amila Gadri. "Formulasi Hidrogel dengan Metode Beku-Leleh Mengandung Serbuk Enzim Papain Getah Buah Pepaya Muda (*Carica Papaya L.*) sebagai Pembalut Luka". *Kesehatan dan Farmasi* 1, no. 1 (2015): h. 501-509.
- Sartika, Dewi. "Studi Kadar Tembaga (Cu) pada Air dan Ikan Gabus Di Sungai Pangkajene Kecamatan Bungoro Kabupaten Pangkep 2012". *Skripsi*. Makassar: Fakultas Kesehatan Masyarakat Universitas Hasanuddin, 2012.
- Sheikh Abdullah bin Muhammad bin Abdurahman. *Lubaabut Tafsiir Min Ibnu Katsiir*. Terj. M. Abdul Ghoftar. *Tafsir Ibnu Katsir*. Bogor: Pustaka Imam Asy-Syafi'i, 2005.
- Silverstein, Robert, dkk. *Spectrometric Identification Of Organic Compounds*. Amerika: Lehigh Press, 2005.

- Singh, Shailesh Kumar, Archana Dhyani dan Divya Juyal. "Hydrogel: Preparation, Characterization and Applications". *The Pharma Innovation Journal* 6, no. 6 (2017): h. 25-32.
- Subagio, Achmad. "Potensi Dagig Buah Kelapa Sebagai Bahan Baku Pangan Bernilai". *Teknologi Pertanian* 1, no. 1 (2010): h. 15-26.
- Sugihartono, Dona Rahmawati dan Ageng Priatni. "Kemampuan hidrogel komposit berbasis produk samping industri penyamakan kulit dalam menyerap air dan larutan garam". *Majalah Kulit, Karet, dan Plastik* 36, no. 1 (2020): h. 35-44.
- Sulistiyani, Martin dan Nuril Huda. "Optimasi Pengukuran Spektrum Vibrasi Sampel Protein Menggunakan Spektrofotometer Fourier Transform Infrared (FT-IR)". *Chem Sci* 6, no. 2 (2017): h. 173-180.
- Suliwarno, Ambyah dan Prasetyo Bayu Aji. "Karakteristik Hidrogel Selulosa/Polivinil Alkohol Untuk Absorpsi Logam Berat". *Jurnal Sains Materi Indonesia* 18, No. 2 (2017): h. 55-60.
- Suliwarno, Ambyah. "Karakterisasi Sifat Fisik dan Mekanik Hidrogel Metilselulosa Hasil Sintesis Menggunakan Iradiasi Berkas Elektron". *Jurnal Ilmiah Aplikasi Isotop dan Radiasi* 10, No. 1 (2014): h. 45 – 54.
- Suprianto dan Lielifajri. "Analisis Logam Berat Pb dan Cd dalam Sampel Ikan dan Kerang Secara Spektrofotometri Serapan Atom". *Rekayasa Kimia dan Lingkungan* 7, no. 1 (2009): h. 5-8.
- Suryani. "Pembuatan Serat Dari Sabut Kelapa". *Jurnal Photon* 1, No.1 (2010): h. 7-10.
- Suseno, Jatmiko Endro dan K. Sofjan Firdausi. "Rancang Bangun Spektroskopi FTIR (*Fourier Transform Infrared*) untuk Penentuan Kualitas Susu Sapi". *Berkala Fisika* 11, no.1 (2008): h. 23-28.
- Suyanto, Agus, Sri Kusmiyati dan Ch. Ertnaningsih. "Residu Logam Berat Ikan dari Perairan Tercemar Di Pantai Utara Jawa Tengah". *Pangan dan Gizi* 1, no. 2 (2010): h. 33-38.
- Taksitta, Kotchaporn, Prapasiri Sujarit, Nuanlaor Rattanawimanwong, Suchao Donpudsa dan Kriangsak Songsrirote. "Development of tannin-immobilized cellulose fiber extracted from coconut husk and the application as a biosorbent to remove heavy metal ions". *Environmental Nanotechnology, Monitoring & Management* 2, no. 1 (2020): h. 1-33.
- Thinkohkaew, K, N. Rodthongkumb dan S. Ummartyotin. "Coconut husk (*Cocos nucifera*) cellulose reinforced poly vinyl alcohol-based hydrogel composite with control-release behavior of methylene blue". *J mater res technol* 9, no. 3 (2020): h. 6602–6611.
- Tur-Ridha, Noer Khalifah. "Potensi Hidrogel dari Pati Kulit Singkong (*Manihot Esculenta* Cranz) Sebagai Absorben Zat Warna Metanil Kuning". *Skripsi*. Makassar: Fakultas Sains dan Teknologi Universitas Negeri Alauddin, 2019.
- Wardhani, Isna Yuniar, Surjono Surjokusumo, Yusuf Sudo Hadi dan Nareworo Nugroho. "Distribusi kandungan kimia kayu kelapa (*Cocos nucifera* L)". *Jurnal Ilmu dan Teknologi Kayu Tropis* 2, no.1 (2004): h. 1-7.

Zainal, Sarah Husnaini, Nurul Hanisa h Mohd, Nabilah Suhaili, Farah Hannan Anuar, Azwan Mat Lazim dan Rizafizah Othaman. "Preparation of Cellulose-based Hydrogel: A Review". *Journal of Materials Research and Technology* 1, no. 1 (2020): h. 1-36.



Lampiran 1. Skema Penelitian



Lampiran 2 Perhitungan Kandungan Selulosa Sabut Kelapa

Diketahui:

Massa sabut kelapa = 20 gram

Massa selulosa sabut kelapa = 6,7712 gram

Ditanyakan:

Kandungan selulosa (%) = ...?

Penyelesaian:

$$\begin{aligned}\text{Kandungan selulosa} &= \frac{\text{massa selulosa}}{\text{massa sabut kelapa}} \times 100\% \\ &= \frac{6,7712 \text{ gram}}{20 \text{ gram}} \times 100\% \\ &= 33,86\%\end{aligned}$$



Lampiran 3 Perhitungan Rasio Swelling

Penambahan EDTA (gr)	Bobot Awal (W_0) (gr)	Bobot Akhir (W_1) (gr)
0,100	2,0000	7,8303
0,125	2,0000	10,8849
0,150	2,0000	7,3955

1. Penambahan EDTA 0,100

$$\begin{aligned}\% \text{ rasio swelling} &= \frac{W_1 - W_0}{W_0} \times 100\% \\ &= \frac{7,8303 - 2,0000}{2,0000} \times 100\% \\ &= 291,515\%\end{aligned}$$

2. Penambahan EDTA 0,125

$$\begin{aligned}\% \text{ rasio swelling} &= \frac{W_1 - W_0}{W_0} \times 100\% \\ &= \frac{7,8303 - 2,0000}{2,0000} \times 100\% \\ &= 444,245\%\end{aligned}$$

3. Penambahan EDTA 0,150

$$\begin{aligned}\% \text{ rasio swelling} &= \frac{W_1 - W_0}{W_0} \times 100\% \\ &= \frac{7,3955 - 2,0000}{2,0000} \times 100\% \\ &= 269,775\%\end{aligned}$$

Lampiran 4 Perhitungan Uji Fraksi Gel

Penambahan EDTA (gr)	Bobot Awal (W_0) (gr)	Bobot Akhir (W_1) (gr)
0,100	2,0000	2,6035
0,125	2,0000	5,6404
0,150	2,0000	3,4893

1. Penambahan EDTA 0,100

$$\begin{aligned}\% \text{ fraksi gel} &= \frac{W_1}{W_0} \times 100\% \\ &= \frac{2,6035}{2,0000} \times 100\% \\ &= 130,175 \%\end{aligned}$$

2. Penambahan EDTA 0,125

$$\begin{aligned}\% \text{ fraksi gel} &= \frac{W_1}{W_0} \times 100\% \\ &= \frac{5,6404}{2,0000} \times 100\% \\ &= 282,02 \%\end{aligned}$$

3. Penambahan EDTA 0,150

$$\begin{aligned}\% \text{ fraksi gel} &= \frac{W_1}{W_0} \times 100\% \\ &= \frac{3,4893}{2,0000} \times 100\% \\ &= 174,465\%\end{aligned}$$

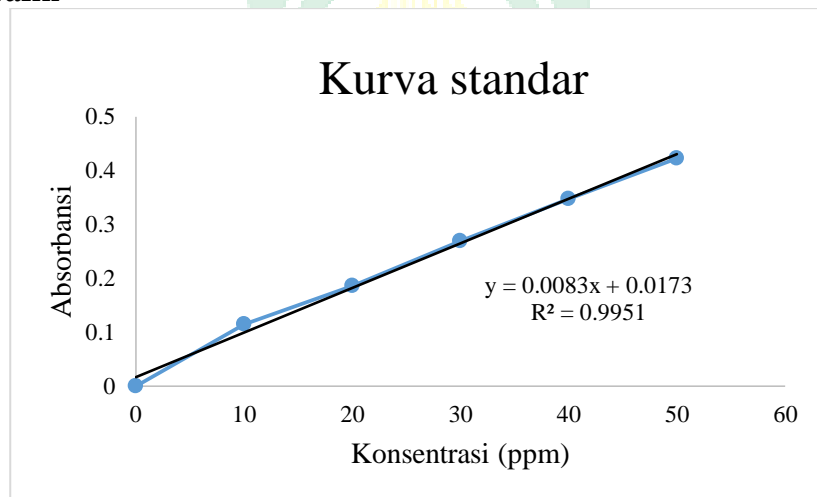
Lampiran 5 Penentuan Kurva Standar Logam Cu dan Fe

1. Kurva Standar Logam Cu

a. Deret Standar

No.	Konsentrasi (x)	Absorbansi (y)	X ²	Y ²	XY
1	0,0000	0,0009	0	0,00000081	0
2	10	0,1152	100	0,01327104	1,152
3	20	0,1868	400	0,03489242	3,736
4	30	0,2619	900	0,07241481	8,073
5	40	0,3479	1600	0,12103441	13,916
6	50	0,4232	2500	0,17909824	21,16
$\Sigma n=6$	$\Sigma x= 150$	$\Sigma y= 01,3431$	$\Sigma x^2= 5500$	$\Sigma y^2= 0,42071355$	$\Sigma x.y= 48,037$

b. Grafik



c. Analisis Data

Diketahui:

$$\Sigma n = 6$$

$$\Sigma x = 150$$

$$\Sigma y = 1,3431$$

$$\Sigma x^2 = 5500$$

$$\Sigma y^2 = 0,42071355$$

$$\sum xy = 721,8588$$

Ditanyakan:

- 1) Nilai slope (a) =?
- 2) Nilai intersep (b) =?
- 3) Persamaan garis lurus (y) =?
- 4) Nilai regresi (R) =?

Penyelesaian:

1) Penentuan Nilai Slope (a)

$$\begin{aligned}
 a &= \frac{n \sum xy - \sum x \sum y}{n \sum x^2 - (\sum x)^2} \\
 &= \frac{(6 \times 288,22) - (150 \times 1,3431)}{6 \times 5500 - (150)^2} \\
 &= \frac{288,222 - 201,465}{33000 - 22500} \\
 &= \frac{86,757}{10500} \\
 &= 0,0083
 \end{aligned}$$

2) Penentuan Nilai Intersep (b)

$$\begin{aligned}
 b &= \frac{(\sum y)(\sum x^2) - (\sum x)(\sum xy)}{n(\sum x^2) - (\sum x)^2} \\
 &= \frac{(1,3431)(5500) - (150)(48,037)}{6 \times 550 - (150)^2} \\
 &= \frac{7387,05 - 7205,55}{33000 - 22500} \\
 &= \frac{181,5}{10500} \\
 &= 0,0173
 \end{aligned}$$

3) Penentuan Persamaan Garis Lurus (y)

$$\begin{aligned}
 y &= ax + b \\
 y &= 0,0083x + 0,0173 \\
 0,0083x &= y + 0,0173 \\
 x &= \frac{y + 0,0173}{0,0083}
 \end{aligned}$$

4) Penentuan Nilai Regresi (R)

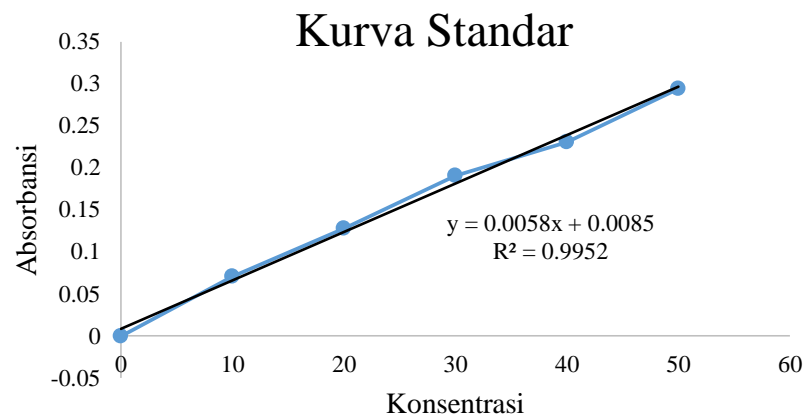
$$\begin{aligned}
 R &= \frac{n \sum xy - \sum x \sum y}{\sqrt{((n \sum x^2) - (\sum x)^2)((n \sum y^2) - (\sum y)^2)}} \\
 &= \frac{(6 \times 48,037) - (150 \times 1,3431)}{\sqrt{((6 \times 5500) - (150)^2)((6 \times 0,42071355) - (1,3431)^2)}} \\
 &= \frac{288,22 - 201,465}{\sqrt{(33000 - 22500) (2,5242813 - 1,80391761)}} \\
 &= \frac{86,755}{\sqrt{(10500) (0,72036369)}} \\
 &= \frac{86,755}{\sqrt{7563,818745}} \\
 &= \frac{86,755}{86,9702} \\
 &= 0,9975
 \end{aligned}$$

2. Kurva Standar Logam Fe

a. Deret Standar

No.	Konsentrasi (x)	Absorbansi (y)	X ²	Y ²	XY
1	0,0000	-0,0002	0	0,00000004	0
2	10	0,0708	100	0,00501264	0,708
3	20	0,1280	400	0,016384	2,56
4	30	0,1906	900	0,03632836	5,718
5	40	0,2305	1600	0,05313025	9,22
6	50	0,2943	2500	0,08661249	14,715
$\Sigma n=6$	$\Sigma x= 150$	$\Sigma y= 0,914$	$\Sigma x^2= 5500$	$\Sigma y^2= 0,19746778$	$\Sigma x.y= 32,921$

b. Grafik



c. Analisis Data

Diketahui:

$$\begin{aligned} \Sigma n &= 6 \\ \Sigma x &= 150 \\ \Sigma y &= 1,3431 \\ \Sigma x^2 &= 5500 \\ \Sigma y^2 &= 0,42071355 \\ \Sigma xy &= 721,8588 \end{aligned}$$

Ditanyakan:

- 1) Nilai slope (a) =?
- 2) Nilai intersep (b) =?
- 3) Persamaan garis lurus (y) =?
- 4) Nilai regresi (R) =?

Penyelesaian:

1) Penentuan Nilai Slope (a)

$$\begin{aligned}
 a &= \frac{n \sum xy - \sum x \sum y}{n \sum x^2 - (\sum x)^2} \\
 &= \frac{(6 \times 32,921) - (150 \times 0,914)}{6 \times 5500 - (150)^2} \\
 &= \frac{197,526 - 137,1}{33000 - 22500} \\
 &= \frac{60,426}{10500} \\
 &= 0,0058
 \end{aligned}$$

2) Penentuan Nilai Intersep (b)

$$\begin{aligned}
 b &= \frac{(\sum y)(\sum x^2) - (\sum x)(\sum xy)}{n(\sum x^2) - (\sum x)^2} \\
 &= \frac{(0,914)(5500) - (150)(32,921)}{6 \times 5500 - (150)^2} \\
 &= \frac{5027 - 4938,15}{33000 - 22500} \\
 &= \frac{88,85}{10500} \\
 &= 0,0085
 \end{aligned}$$

3) Penentuan Persamaan Garis Lurus (y)

$$\begin{aligned}
 y &= ax + b \\
 y &= 0,0058x + 0,0085 \\
 0,0058x &= y + 0,0085 \\
 x &= \frac{y + 0,0085}{0,0058}
 \end{aligned}$$

4) Penentuan Nilai Regresi (R)

$$\begin{aligned}
 R &= \frac{n \sum xy - \sum x \sum y}{\sqrt{((n \sum x^2) - (\sum x)^2)((n \sum y^2) - (\sum y)^2)}} \\
 &= \frac{(6 \times 32,921) - (150 \times 0,914)}{\sqrt{((6 \times 5500) - (150)^2)((6 \times 0,19746778) - (0,914)^2)}} \\
 &= \frac{197,526 - 137,1}{\sqrt{(33000 - 22500) (1,18480668 - 0,835396)}} \\
 &= \frac{60,426}{\sqrt{(10500) (0,34941068)}} \\
 &= \frac{60,426}{\sqrt{3668,81214}} \\
 &= \frac{60,426}{60,5707} \\
 &= 0,99952
 \end{aligned}$$

Lampiran 5 Perhitungan Kadar Logam Pada Hidrogel

1. Kadar Ion Logam Cu

No.	Penambahan EDTA	Absorbansi	Konsentrasi
1	0,100	0,1774	23,4578
2	0,125	0,1585	21,1807
3	0,150	1642	21,8674

Penentuan konsentrasi sisa logam berat Cu yaitu dengan menggunakan persamaan regresi linier.

$$Y = ax + b$$

$$Y = 0,0083x + 0,0173$$

a) Penentuan Konsentrasi Awal

$$x = \frac{y + 0,0173}{0,0083}$$

$$x = \frac{0,1868 + 0,0173}{0,0083}$$

$$x = 24,5903 \text{ ppm}$$

b) Hidrogel Penambahan EDTA 0,100

$$x = \frac{y + 0,0173}{0,0083}$$

$$x = \frac{0,1774 + 0,0173}{0,0083}$$

$$x = 23,4578 \text{ ppm}$$

c) Hidrogel Penambahan EDTA 0,125

$$x = \frac{y + 0,0173}{0,0083}$$

$$x = \frac{0,1585 + 0,0173}{0,0083}$$

$$x = 21,1807 \text{ ppm}$$

d) Hidrogel Penambahan EDTA 0,150

$$x = \frac{y + 0,0173}{0,0083}$$

$$x = \frac{0,1642 + 0,0173}{0,0083}$$

$$x = 21,8674 \text{ ppm}$$

2. Kadar Ion Logam Fe

No.	Penambahan EDTA	Absorbansi	Konsentrasi
1	0,100	0,1152	21,362
2	0,125	0,1060	19,7413
3	0,150	0,1100	20,431

Penentuan konsentrasi sisa logam berat Fe yaitu dengan menggunakan persamaan regresi linier.

$$Y = ax + b$$

$$Y = 0,0058x + 0,0085$$

a) Penentuan Konsentrasi Awal

$$x = \frac{y + 0,0085}{0,0058}$$

$$x = \frac{0,1280 + 0,0085}{0,0058}$$

$$x = 23,5344$$

b) Hidrogel Penambahan EDTA 0,100

$$x = \frac{y + 0,0085}{0,0058}$$

$$x = \frac{0,1154 + 0,0085}{0,0058}$$

$$x = 21,362 \text{ ppm}$$

c) Hidrogel Penambahan EDTA 0,125

$$x = \frac{y + 0,0085}{0,0058}$$

$$x = \frac{0,1060 + 0,0085}{0,0058}$$

$$x = 19,7413 \text{ ppm}$$

d) Hidrogel Penambahan EDTA 0,150

$$x = \frac{y + 0,0085}{0,0058}$$

$$x = \frac{0,1100 + 0,0085}{0,0058}$$

$$x = 20,431 \text{ ppm}$$



Lampiran 6 Perhitungan Efisiensi Penyerapan Ion Logam

Penambahan EDTA (gr)	Ion Logam Cu		Ion Logam Fe	
	Konsentrasi Awal (C_0) (ppm)	Konsentrasi Akhir (C_1) (ppm)	Konsentrasi Awal (C_0) (ppm)	Konsentrasi Akhir (C_1) (ppm)
0,100	24,5903	23,45768	23,5344	21,362
0,125	24,5903	21,1807	23,5344	19,7413
0,150	24,5903	21,8674	23,5344	20,431

1. Ion Logam Cu

a. Penambahan EDTA 0,100

$$\begin{aligned}\varepsilon &= \frac{C_0 - C_1}{C_0} \times 100\% \\ &= \frac{24,5903 - 23,4578}{24,5903} \times 100\% \\ &= 4,6054\%\end{aligned}$$

b. Penambahan EDTA 0,125

$$\begin{aligned}\varepsilon &= \frac{C_0 - C_1}{C_0} \times 100\% \\ &= \frac{24,5903 - 21,1807}{24,5903} \times 100\% \\ &= 13,865\%\end{aligned}$$

c. Penambahan EDTA 0,150

$$\begin{aligned}\varepsilon &= \frac{C_0 - C_1}{C_0} \times 100\% \\ &= \frac{24,5903 - 21,8674}{24,5903} \times 100\% \\ &= 11,073\%\end{aligned}$$

2. Ion Logam Fe

a. Penambahan EDTA 0,100

$$\begin{aligned}\varepsilon &= \frac{C_0 - C_1}{C_0} \times 100\% \\ &= \frac{23,5344 - 21,362}{23,5344} \times 100\% \\ &= 9,2307\%\end{aligned}$$

b. Penambahan EDTA 0,125

$$\begin{aligned}\varepsilon &= \frac{C_0 - C_1}{C_0} \times 100\% \\ &= \frac{23,5344 - 19,7413}{23,5344} \times 100\% \\ &= 16,1172\%\end{aligned}$$

c. Penambahan EDTA 0,150

$$\begin{aligned}\varepsilon &= \frac{C_0 - C_1}{C_0} \times 100\% \\ &= \frac{24,5903 - 20,431}{24,5903} \times 100\% \\ &= 13,1866\%\end{aligned}$$

Lampiran 7 Perhitungan Pembuatan Larutan

1. Pembuatan Larutan NaOH 0,5 M dalam 100 mL

Diketahui:

$$\begin{aligned}\text{Konsentrasi NaOH} &= 0,5 \text{ M} \\ \text{Massa relatif} &= 40 \text{ gr/mol} \\ \text{Volume} &= 100 \text{ mL}\end{aligned}$$

Ditanyakan:

$$\text{Massa NaOH} = \dots?$$

Penyelesaian:

$$\begin{aligned}M &= \frac{\text{gr}}{\text{Mr}} \times \frac{1000}{V} \\ 0,5 \text{ mol/L} &= \frac{\text{gr}}{40 \text{ gr/mol}} \times \frac{1000}{100 \text{ mL}} \\ 10 \text{ gr} &= 40 \times 0,5 \\ &= 2 \text{ gram}\end{aligned}$$

2. Pembuatan Larutan NaOCl 3% (v/v) dalam 100 mL

Diketahui:

$$\begin{aligned}\text{Konsentrasi NaOCl (C}_1\text{)} &= 12\% \text{ M} \\ \text{Konsentrasi NaOCl (C}_2\text{)} &= 3\% \\ \text{Volume (V}_2\text{)} &= 100 \text{ mL}\end{aligned}$$

Ditanyakan:

$$\text{Volume (V}_1\text{)} = \dots?$$

Penyelesaian:

$$\begin{aligned}V_1 \times C_1 &= V_2 \times C_2 \\ V_1 \times 12\% &= 100 \text{ mL} \times 3\% \\ V_1 &= \frac{300 \text{ mL}}{12} \\ &= 25 \text{ mL}\end{aligned}$$

3. Pembuatan CH_3COOH 2% (v/v) dalam 25 mL

Diketahui:

$$\text{Konsentrasi } \text{CH}_3\text{COOH} (C_1) = 100\% \text{ M}$$

$$\text{Konsentrasi } \text{CH}_3\text{COOH} (C_2) = 2\%$$

$$\text{Volume } (V_2) = 50 \text{ mL}$$

Ditanyakan:

$$\text{Volume } (V_1) = \dots?$$

Penyelesaian:

$$V_1 \times C_1 = V_2 \times C_2$$

$$V_1 \times 100\% = 50 \text{ mL} \times 2\%$$

$$V_1 = \frac{100 \text{ mL}}{100}$$

$$= 1 \text{ mL}$$

4. Pembuatan Larutan NaOH 2 M dalam 50 mL

Diketahui:

$$\text{Konsentrasi } \text{NaOH} = 2 \text{ M}$$

$$\text{Massa relatif} = 40 \text{ gr/mol}$$

$$\text{Volume} = 50 \text{ mL}$$

Ditanyakan:

$$\text{Massa } \text{NaOH} = \dots?$$

Penyelesaian:

$$M = \frac{\text{gr}}{\text{Mr}} \times \frac{1000}{V}$$

$$2 \text{ mol/L} = \frac{\text{gr}}{40 \text{ gr/mol}} \times \frac{1000}{50 \text{ mL}}$$

$$20 = 40 \times 2$$

$$= 4 \text{ gram}$$

5. Pembuatan Larutan Logam Cu

a. Pembuatan Larutan Induk 1000 ppm dalam 100 mL

Diketahui:

Konsentrasi	= 1000 ppm
Volume	= 100 mL → 0,1 L
Massa relatif Cu(NO ₃) ₂	= 187,5 gr/mol
Massa relatif Cu	= 63,5 gr/mol

Ditanyakan:

$$\text{Massa Cu(NO}_3)_2 = \dots?$$

Penyelesaian:

$$\begin{aligned} \text{mg} &= \frac{\text{ppm} \times V \times \text{Mr Cu(NO}_3)_2}{\text{Ar Cu}} \\ &= \frac{1000 \text{ mg/L} \times 0,1 \text{ L} \times 187,5 \text{ gr/mol}}{63,5 \text{ gr/mol}} \\ &= \frac{18750 \text{ mg}}{63,5} \end{aligned}$$

$$= 295,275 \text{ mg} \rightarrow 0,29 \text{ gram}$$

b. Pembuatan Larutan Standar 100 ppm dalam 100 mL

$$V_1 \times C_1 = V_2 \times C_2$$

$$V_1 \times 1000 \text{ ppm} = 100 \text{ mL} \times 10 \text{ ppm}$$

$$V_1 = \frac{1000 \text{ mL}}{1000}$$

$$V_1 = 1 \text{ mL}$$

c. Pembuatan Deret Standar 10, 20, 30 40 dan 50 ppm dalam 50 mL

Perhitungan 10 ppm

Penyelesaian:

$$V_1 \times C_1 = V_2 \times C_2$$

$$V_1 \times 100 \text{ ppm} = 50 \text{ mL} \times 10 \text{ ppm}$$

$$V_1 = \frac{500 \text{ mL}}{100}$$

$$V_1 = 5 \text{ mL}$$

Perhitungan deret standar 20, 30, 40 dan 50 ppm sama seperti perhitungan di atas.

6. Pembuatan Larutan Logam Fe

a. Pembuatan Larutan Induk Fe 1000 ppm dalam 100 mL

Diketahui:

Konsentrasi = 1000 ppm

Volume = 100 mL → 0,1 L

Massa relatif $\text{Fe}(\text{NO}_3)_3$ = 241,86 gr/mol

Massa relatif Fe = 55,847 gr/mol

Ditanyakan:

Massa $\text{Fe}(\text{NO}_3)_3$ = ...?

Penyelesaian:

$$\begin{aligned} \text{mg} &= \frac{\text{ppm} \times V \times \text{Mr Fe}(\text{NO}_3)_3}{\text{Ar Fe}} \\ &= \frac{1000 \text{ mg/L} \times 0,1 \text{ L} \times 241,86 \text{ gr/mol}}{55,845 \text{ gr/mol}} \end{aligned}$$

$$= \frac{24186 \text{ mg}}{55,845}$$

$$= 433,09 \text{ mg} \rightarrow 0,43 \text{ gram}$$

b. Pembuatan Larutan Standar 100 ppm dalam 100 mL

$$V_1 \times C_1 = V_2 \times C_2$$

$$V_1 \times 1000 \text{ ppm} = 100 \text{ mL} \times 10 \text{ ppm}$$

$$V_1 = \frac{1000 \text{ mL}}{1000}$$

$$V_1 = 1 \text{ mL}$$

c. Pembuatan Deret Standar 10, 20, 30, 40 dan 50 ppm dalam 50 mL

Perhitungan 10 ppm

Penyelesaian:

$$V_1 \times C_1 = V_2 \times C_2$$

$$V_1 \times 100 \text{ ppm} = 50 \text{ mL} \times 10 \text{ ppm}$$

$$V_1 = \frac{500 \text{ mL}}{100}$$

$$V_1 = 5 \text{ mL}$$

Perhitungan deret standar 20, 30, 40 dan 50 ppm sama seperti perhitungan di atas.

Lampiran 9 Dokumentasi Penelitian

1. Preparasi Sabut Kelapa



Menjemur sabut kelapa di bawah sinar matahari



Dihaluskan dengan blender



Diayak dengan menggunakan *sieve shaker*

2. Ekstraksi Sabut Kelapa



Ditimbang sabut kelapa



Delignifikasi dengan NaOH



Diputihkan dengan NaOCl dan CH_3COOH



Dinetralkan

3. Pembuatan Hidrogel



Selulosa + Kitosan + EDTA + CH_3COOH 2% + NaOH 2M



Hidrogel sabut kelapa



Hidrogel siap digunakan

4. Uji Sediaan Hidrogel



Direndam
dalam akuades



Dikeringkan dalam
oven



Hidrogel ditimbang

5. Absorpsi Logam Berat



Direndam
dengan larutan
logam



Dikarakterisasi dengan FTIR



Filtrat diuji dengan
SSA

RIWAYAT HIDUP



Penulis bernama lengkap Tiara Nurfadillah Rajab. Lahir di Makassar pada tanggal 25 Januari 2000. Anak kedua dari dua bersaudara dari pasangan Bapak Muh. Rajab dan Ibu St. Aida. Penulis memulai pendidikan pada usia 5 tahun di SD Inpres Maccini dan selesai pada tahun 2011. Penulis melanjutkan pendidikan di SMP Negeri 2 Makassar dan tamat pada tahun 2014, kemudian melanjutkan pendidikan di SMA Negeri 16 Makassar, hingga tahun 2017. Pada tahun yang sama, penulis melanjutkan ke perguruan tinggi negeri Universitas Islam Negeri Alauddin Makassar dengan mengambil prodi S1 Sains Kimia Fakultas Sains dan Teknologi dan menyelesaikan penelitian serta tugas akhir skripsi pada tahun 2021 dengan mengambil judul **“Pembuatan Hidrogel dari Sabut Kelapa (*Cocos Nucifera* L.) sebagai Absorben Logam Berat Cu dan Fe”**.

UNIVERSITAS ISLAM NEGERI
ALAUDDIN
M A K A S S A R